



<https://doi.org/10.22067/ijpr.2025.93091.1111>

Quantification of Pretreatment Effects of Potassium Silicate on Germination and Growth Indices of Faba Bean (*Vicia faba* L.) under Salinity Stress Using Empirical Models

Qais Fahd Hussein , Ali Hatami , Alireza Taab *, Nabil Rahim Lahmod , Somayeh Hajinia ¹

Cite this article:

Received: 20-04-2025

Fahd Hussein, Q., Hatami, A., Taab, A., Rahim Lahmod, N., & Hajinia, S. (2025). Quantification of pretreatment effects of potassium silicate on germination and growth indices of faba bean (*Vicia faba* L.) under salinity stress using Empirical models. *Iranian Journal of Pulses Research*, 16(1), 193-213. (In Persian with English Abstract). <https://doi.org/10.22067/ijpr.2025.93091.1111>

Revised: 20-05-2025

Accepted: 25-05-2025

Available Online: 25-05-2025

Introduction

Salinity stress is one of the limiting factors for plant growth and production in arid and semi-arid regions of the world. The use of potassium silicate as the second most common element in soil is one of the strategies used to reduce the effects of environmental stresses such as salinity. Considering the increasing challenge of water and soil salinity and its limiting effects on the growth, development, and production of faba bean, the aim of this study was to investigate the effects of potassium silicate on improving germination and growth indices, and to determine the tolerance threshold of faba bean seeds to salinity stress.

Materials and Methods

A factorial experiment was conducted based on completely randomized design with four replications at the Laboratory of Ilam University, Iran, in 2024. The experimental factors were included potassium silicate at four levels (0, 50, 100, and 150 mg.l⁻¹) and five levels of salinity stress (0, 1, 4, 8, and 10 dS.m⁻¹). The germination criterion was the protrusion of a radicle length up to 2 mm. At the end of the experiment, germination indices (germination percentage, germination rate, seed vigor index) and seedling growth (root and seedling dry weight and length) were measured.

Results and Discussion

The application of potassium silicate under non-salinity stress conditions (salinity of 0 and 1 dS.m⁻¹) had no significant effect on the germination percentage of faba bean seeds; however, the germination percentage increased by 20.7, 23.8, and 26.7 percent with the application of 150 mg.l⁻¹ of potassium silicate under salinity stress conditions of 4, 8, and 10 dS.m⁻¹, respectively. The germination rate of faba bean seeds under non-salt stress conditions was not affected by pretreatment with potassium silicate. The germination rate of faba bean seeds with application of 150 mg.l⁻¹ of potassium silicate under salinity stress conditions of 8 and 10 dS.m⁻¹ was 23.9 and 26.7 percent higher than without its application, respectively. Under non-salinity stress conditions, application of 100 mg l⁻¹ potassium silicate increased the vigor index of faba bean seeds by 25.4% compared to the control. Under salinity stress conditions of 8 dS.m⁻¹, application of 50 and 150 mg l⁻¹ potassium silicate improved the vigor index of faba bean seeds by 73.7% and 79.0%, respectively. Salinity stress at levels of 1, 4, 8, and 10 dS.m⁻¹ reduced the length of faba bean rootlets by 21.8, 39.7, 44.2, and 60.0%, respectively, compared to the absence of salinity stress. The highest shoot dry weight (0.414 g.plant⁻¹) was observed with the application of 100 mg.l⁻¹ potassium silicate under non-salt stress conditions, which was 8.5% higher compared to the control. Under 10 dS.m⁻¹ salt stress conditions, the application of 100 and 150 mg.l⁻¹ potassium silicate improved the shoot dry weight of faba bean by 86.5 and 66.5% compared to the control. The highest root dry weight (0.419 g.plant⁻¹) was observed with the application of 100 mg.l⁻¹ potassium silicate under no salt stress conditions, which was 11.5% higher compared to control. Under 10 dS.m⁻¹ salt stress conditions, the application of 100 and 150 mg l⁻¹ potassium silicate improved the dry weight of faba bean root by 60.1 and 65.6% compared to the control. According to the Moss and

1- Department of Agronomy and Plant Breeding, Faculty of Agriculture, Ilam University, Ilam, Iran

2- Faculty of Agriculture, University of Wasit, Iraq

* Corresponding Author:a.taab@ilam.ac.ir



Hoffman's equation, the tolerance threshold to salinity stress in faba bean based on relative germination without the application of potassium silicate was 0.52 and its decreasing slope was 5.48. The threshold of tolerance to salinity stress in faba bean with the application of 50, 100, and 150 mg.l⁻¹ of potassium silicate was 0.62, 0.22, and 1.32 and its decreasing slope was 5.5, 93.4, and 22.4, respectively. Based on the three-parameter sigmoid model, the salinity stress that reduced bean seed germination by 50% by applying different amounts of 0, 50, 100, and 150 mg.l⁻¹ of potassium silicate was 8.75, 9.41, 9.38, and 10.10 dS.m⁻¹, respectively.

Conclusions

It can be concluded that the faba bean plant is sensitive to salinity. Seed priming with potassium silicate at concentrations of 100 and 150 mg.l⁻¹ effectively mitigates salt stress in faba bean and significantly enhances the plant's tolerance to salinity.

Keywords: Germination percentage, Modeling, Saline water, Silicon

کمی‌سازی اثرات پرایمینگ بذر با پتاسیم سیلیکات بر صفات جوانه‌زنی و شاخص‌های رشد باقلاء تحت تنش شوری با استفاده از مدل‌های تجربی (*Vicia faba L.*)

قیس فهد حسین^۱، علی حاتمی^۱، علیرضا تاب^{۱*}، نبیل رحیم لهمود^۲، سمیه حاجی‌نیا^۱

تاریخ دریافت: ۱۴۰۴/۰۱/۳۱

تاریخ پذیرش: ۱۴۰۴/۰۳/۰۴

چکیده

تنش شوری یکی از عوامل محدودکننده رشد و تولید گیاهان در نواحی خشک و نیمه‌خشک جهان محسوب می‌شود. کاربرد پتاسیم سیلیکات به عنوان دومین عنصر رایج موجود در خاک، یکی از راهکارهای مورد استفاده در کاهش اثر تنش‌های محیطی مانند شوری شناخته شده است. در این پژوهش، اثرات پرایمینگ با پتاسیم سیلیکات بر خصوصیات جوانه‌زنی بذر و شاخص‌های رشد باقلاء تحت شرایط تنش شوری در آزمایشی به صورت فاکتوریل در قالب طرح کاملاً تصادفی با چهار تکرار در آزمایشگاه دانشگاه ایلام در بهار سال ۱۴۰۳ انجام گردید. عوامل آزمایش شامل پتاسیم سیلیکات در چهار سطح (۰، ۵۰، ۱۰۰ و ۱۵۰ میلی‌گرم در لیتر پتاسیم سیلیکات) و پنج سطح تنش شوری شامل (۰، ۱، ۴، ۸ و ۱۰ دسی‌زیمنس بر متر) بودند. نتایج نشان داد که تحت شرایط تنش شوری ۱۰ دسی‌زیمنس بر متر، کاربرد ۱۵۰ میلی‌گرم در لیتر پتاسیم سیلیکات باعث افزایش درصد جوانه‌زنی، سرعت جوانه‌زنی، طول ساقه‌چه، وزن خشک ساقه‌چه و ریشه‌چه به ترتیب به میزان ۲۶/۷، ۴۴/۱، ۲۶/۷ و ۶۶/۵ و ۶۵/۶ درصد در مقایسه با عدم کاربرد آن می‌شود. براساس معادله ماس و هافمن، حد آستانه تنش شوری در باقلاء با کاربرد ۰، ۵۰، ۱۰۰ و ۱۵۰ میلی‌گرم در لیتر پتاسیم سیلیکات به ترتیب ۰/۵۲، ۰/۶۲، ۰/۲۲ و ۰/۳۲ دسی‌زیمنس بر متر و شبیه کاهش آن نیز ۵/۴۸، ۵/۱۷ و ۴/۹۳ و ۴/۲۲ بود. براساس مدل نمایی، بیشترین درصد جوانه‌زنی بذر باقلاء با کاربرد ۰، ۵۰، ۱۰۰ و ۱۵۰ میلی‌گرم در لیتر پتاسیم سیلیکات به ترتیب ۸/۹۳، ۹/۴۹، ۹/۴۸ و ۹/۷۷ به دست آمد. براساس مدل سه پارامتری سیگموئیدی، سطحی از تنش شوری که باعث کاهش ۵۰ درصد جوانه‌زنی بذر باقلاء می‌شود با کاربرد ۰، ۵۰، ۱۰۰ و ۱۵۰ میلی‌گرم در لیتر پتاسیم سیلیکات به ترتیب ۸/۷۵، ۸/۴۱، ۹/۳۸ و ۱۰/۱۰ دسی‌زیمنس بر متر بود. به طور کلی می‌توان نتیجه گرفت که گیاه باقلاء یک گیاه حساس به شوری است. به طور کلی، پرایمینگ بذر با پتاسیم سیلیکات با غلظت‌های ۱۰۰ و ۱۵۰ میلی‌گرم در لیتر، توانایی کاهش اثرات تنش شوری در باقلاء را دارد و می‌تواند در افزایش تحمل گیاه باقلاء در برابر تنش شوری نقش مهمی داشته باشد.

واژه‌های کلیدی: آب شور، درصد جوانه‌زنی، سیلیکون، مدل‌سازی

حدود ۳۳ درصد از سطح مزارع آبی را تشکیل می‌دهد (Dagar et al., 2019). زمین‌های شور به دلیل فعالیت‌های انسانی، تغییرات آب‌وهایی و تغییرات فصلی به طور نگران کننده‌ای در حال افزایش هستند (Shen et al., 2020). شوری احتمالاً چالش تأمین نیازهای غذایی جهان را تشدید می‌کند، زیرا بیشتر محصولات زراعی مستعد تنش شوری هستند (Mustafa et al., 2019).

باقلاء (*Vicia faba L.*) متعلق به خانواده بقولات (Fabaceae) است و در سراسر جهان از جمله منطقه مدیترانه توپیک می‌شود. میزان پروتئین دانه‌های باقلاء بین ۳۵ تا ۱۸%

مقدمه

در حال حاضر، جهان یکی از بزرگ‌ترین بحران‌های تاریخی مدرن را تجربه می‌کند که با تغییرات آب‌وهایی عمده و کاهش شدید تولیدات کشاورزی نمایان می‌شود (Anderson et al., 2020). تنش شوری جزء تنش‌های غیریزیستی مهم است که اثرات مضری بر رشد و نمو گیاه از جوانه‌زنی بذر تا عملکرد دارد (El-Mogy et al., 2018). شوری مشکلی جهانی است که بیش از شش درصد از مساحت زمین‌های جهان را تحت تأثیر قرار می‌دهد و حدود ۲۰ درصد از کل زمین‌های قابل کشت و ۵۰ درصد از زمین‌های زیرکشت گیاهان زراعی را شامل می‌شود که

به عنوان یک رویکرد پیش از کاشت ارزان، کارآمد، عملی و اینمن برای مبارزه با رشد و محدودیت رشد گیاهان ناشی از شوری و ترویج تولید محصول مقرون به صرفه و پایدار در خاک تحت تأثیر شوری است (Farooq et al., 2017a).

سیلیس دومین عنصر فراوان در خاک محسوب می‌شود که میزان آن از ۵۰ تا ۴۰۰ گرم در کیلوگرم خاک متغیر است و Zaid et al., (2018) ۲۵ درصد از کل پوشته زمین را پوشش می‌دهد (). هر چند که سیلیکون یک عنصر غذایی غیرضروری برای رشد گیاهان است، اما می‌تواند برای گیاهان زراعی در برابر تنفس شوری مقاومت ایجاد کند. سیلیکون می‌تواند جوانه‌زنی، رشد، محتوای نسبی آب، عملکرد و همچنین کیفیت بذر را در محصولات افزایش دهد. مطالعات نشان دادند که محصولات تیمارشده با سیلیکون دارای محتوای کلروفیل و کارآئی سیستم فتوسنتزی بالاتر و پراکسیداسیوں لیپیدی و نشت الکتروولیت کمتری هستند (Dhiman et al., 2021). سازوکارهای تحمل نمک با واسطه سیلیکون در مرحله جوانه‌زنی بذر هنوز مبهم است، اما پیشنهاد شده است که با کاهش تنش اکسیداتیو مرتبط هستند (Karunakaran et al., 2013). به عنوان مثال، گزارش شده است که سیلیکون، مقدار یون‌های سدیم را در گیاهان در طول سمت شوری از طریق روش‌های مختلف کاهش می‌دهد. در مرحله اول، می‌تواند نفوذپذیری غشاء سلولی ریشه را تغییر دهد تا ثبات ساختاری سلول‌های ریشه را بازیابی کند (Luyckx et al., 2017). در مرحله دوم، می‌تواند عملکرد پمپ H^+ -ATP_{ases} واقع بر غشاء پلاسمما را بهبود دهد و سوم اینکه می‌تواند انتقال یون سدیم به خارج از سلول‌ها را تسهیل کند.

برخی از محققان، نقش پتانسیم سیلیکات را در کاهش اثرات تنش شوری در گیاهان گزارش کردند. لطفی و همکاران (Lotfi & Ghassemi-Golezani, 2015) گزارش کردند که تحت تنش شوری در ماش (*Vigna radiate L.*), کاربرد سیلیکون و اسید سالیسیلیک از طریق افزایش ذخیره پتانسیم و کاهش تجمع سدیم در بذر باعث بهبود کیفیت فیزیولوژیکی بذر می‌شود. شاهزاد و همکاران (Shahzad et al., 2013) نشان دادند که شوری بالا باعث افزایش غلظت یون سدیم در آپولاست برگ باقلال شده و با افزودن سیلیکون به طور قابل توجهی کاهش می‌یابد. صباغنیا و جان‌محمدی (Sabaghnia & Janmohammadi, 2014) گزارش کردند که کاربرد نانوذرات سیلیکون یک میلی‌مولار اثرات منفی تنش شوری بر سرعت جوانه‌زنی، طول ریشه و اندام هوایی و وزن گیاهچه عدس (*Lens culinaris Medic.*) را کاهش می‌دهد. در گیاهان لوپین تحت تنش شوری، استفاده از نانوذرات سیلیکون

درصد ماده خشک است (Abdelkader et al., 2022). باقلا به دلیل ویژگی ثبت نیتروژن به عنوان یک محصول پایدار شناخته شده است (Maalouf et al., 2021) که از آن برای بهبود حاصلخیزی خاک و حمایت از تولید پایدار سایر محصولات، به ویژه هنگامی که با غلات، گیاهان غدهای و سبزیجات در تناوب قرار می‌گیرد، استفاده می‌کنند. چنان سیستم تناوبی، کیفیت غذا را تضمین می‌کند و سلامت خاک را افزایش می‌دهد و در نتیجه باقلال را می‌توان به عنوان بخشی جدایی ناپذیر از شیوه‌های کشاورزی پایدار در سراسر جهان معرفی نمود (Johnston et al., 2024). باقلا به عنوان یک گیاه نیمه‌حساس به شوری، دارای حد آستانه تحمل به شوری ۱/۶ دسی‌زیمنس بر متر با شبی کاهش ۹/۶ درصد است (Maas & Grattan, 1999). هر گونه افزایش بیشتر در شوری خاک به طور قابل توجهی عملکرد باقلال را کاهش می‌دهد و زمانی که سطح شوری خاک پنج دسی‌زیمنس بر متر است، ۵۰ درصد کاهش عملکرد را باعث می‌شود (Sahab et al., 2021). افضل و همکاران (Afzal et al., 2022) گزارش کردند که در باقلال مرحله جوانه‌زنی بذر نسبت به سایر مراحل رشد به تنش شوری حساس‌تر است.

از آنجایی که جوانه‌زنی بذر و مراحل اولیه نمو گیاهچه حیاتی‌ترین و حساس‌ترین مراحل در طول چرخه زندگی گیاه هستند (Cafaro et al., 2023)، شور شدن خاک یک مانع عدم در رشد گیاه محسوب می‌شود (Zhou et al., 2024). کاهش در دسترس بودن آب، عدم تعادل یونی، تغییر در نقل و انتقال ذخایر غذایی بذر، و تغییرات در بخش ساختاری پروتئین، برخی از اثرات تنش شوری بر جوانه‌زنی بذر هستند (El Boukhari et al., 2021). آب شور ممکن است توانایی بذر برای جذب آب (تنش اسمزی) را کاهش دهد و باعث عدم تعادل یونی در دانه (تنش یونی) شود که در نهایت باعث اختلال در جوانه‌زنی و جلوگیری از استقرار یکنواخت محصول می‌شود (De la Reguera et al., 2020). سازگاری گیاهان با محیط شور در طول مراحل رشد، به خصوص در مرحله جوانه‌زنی و رشد اولیه گیاهچه، برای استقرار گیاهان بسیار مهم است. شروع جوانه‌زنی در بذرهای گیاهان حساس به دلیل تنش شوری به تأخیر می‌افتد (Ibrahim, 2016).

تحمل به تنش شوری در طول جوانه‌زنی برای استقرار و رشد گیاهان در خاک‌های شور امری بدینه است. مدیریت شوری مبتنی بر محصول در مقایسه با راهبردهای مدیریت خاک و آبیاری که بسیار گران هستند، رویکردهای کارآمدتر و اقتصادی‌تر برای کاهش شوری است (Sehrawat et al., 2020). پرایمینگ بذر یک روش قدیمی است که ثابت شده است

غلظت‌های مشخص به میزان ۱۰ میلی‌لیتر به هر پتری مطابق تیمارها اضافه شد. سپس درب هر پتری بسته و برای جوانهزنی در ژرمیناتور با دمای ۲۰ درجه سلسیوس نگهداری شدند (Anaya et al., 2018). برای شاهد از آب مقطر استفاده گردید. پتری‌ها به صورت روزانه بازبینی و بذور جوانه‌زده در ساعتی معین شمارش شدند. معیار جوانهزنی خروج ریشه‌چه به اندازه حداقل دو میلی‌متر بود. شمارش تا زمانی ادامه یافت که افزایشی در تعداد بذور جوانه‌زده مشاهده نشد و این حالت به مدت سه روز متوالی ثابت ماند. در پایان روز بیستم به منظور تعیین شاخص‌های رشد، ریشه و اندام هوایی گیاهچه را جدا کرده و طول آن‌ها توسط خط‌کش بر حسب سانتی‌متر اندازه‌گیری شد. برای اندازه‌گیری وزن خشک ریشه و اندام هوایی، نمونه‌ها را در پاکت‌های جداگانه گذاشتند و به مدت ۲۴ ساعت در آون با دمای ۷۰ درجه سلسیوس قرار گرفتند و سپس با ترازوی دقیق با دقت ۰/۰۰۱ گرم توزین شد.

برای محاسبه درصد جوانهزنی از معادله ۳ استفاده شد (Ellis & Roberts, 1981).

$$\text{معادله (۳)} \quad GP = \left(\frac{N_i}{N} \right) \times 100$$

که در آن، GP: درصد جوانهزنی، Ni: تعداد کل بذرها جوانه‌زده در روز آخر شمارش و N: تعداد کل بذرها است. سرعت جوانهزنی با استفاده از معادله ۴ محاسبه شد که در آن، RS: سرعت جوانهزنی (تعداد بذر در روز)، Si: تعداد بذر جوانه‌زده در هر شمارش و Di: تعداد روز تا شمارش n بود (Maguire, 1962).

$$\text{معادله (۴)} \quad RS = \sum_{i=1}^n \frac{S_i}{D_i}$$

برای محاسبه متوسط جوانهزنی از معادله ۵ استفاده شد (Ellis & Roberts, 1981).

$$\text{معادله (۵)} \quad MGT = \sum (n \times d) / N$$

که در آن، MGT: متوسط زمان جوانهزنی، n: تعداد روزها از شروع جوانهزنی، d: تعداد بذور جوانه‌زده در هر روز و N: تعداد کل بذور جوانه‌زده است.

برای محاسبه شاخص بنیه از معادله ۶ استفاده شد (ISTA, 2010).

$$\text{معادله (۶)} \quad VI = GP (\%) \times (SL (cm) + RL (cm))$$

که در آن، VI: شاخص بنیه، GP: درصد جوانهزنی، SL: طول گیاهچه و RL: طول ریشه‌چه بر حسب سانتی‌متر هستند. در تحقیقات تحمل به تنش شوری، مدل‌های مختلف تجربی به منظور ارزیابی پاسخ گیاهان به شوری استفاده می‌شود. به منظور محاسبه آستانه تحمل صفات مورد ارزیابی به تنش

باعث کاهش پراکسید هیدروژن، مالون دی‌آلدئید و نشت الکتروولیت می‌شود و در عین حال رنگیزهای فتوسنتزی، اسمولیت‌ها، شاخص پایداری غشاء و آنزیم‌های پادکسیدانی را افزایش می‌دهد (Zaki et al., 2024) (Banakar et al., 2021) گزارش کرند که افزایش شوری تا سطح شش دسی‌زیمنس بر متر بر درصد جوانهزنی بذور شبکه‌لیه (Trigonella foenum-graecum L.) تأثیری نداشت، اما با اعمال سطوح شوری بالاتر، درصد جوانهزنی به تدریج کاهش یافت و اعمال ۲۴ و ۲۷ دسی‌زیمنس، درصد جوانهزنی بذور را ۸۰/۸۱ و ۲۹/۸ درصد کاهش داد. لذا با توجه به گسترش روزافزون شوری آب و خاک و اثرات محدود کننده آن بر رشد و تولید باقلا، هدف از این پژوهش بررسی اثرات پتاسیم سیلیکات بر بهبود خصوصیات جوانهزنی، شاخص‌های رشدی و تعیین آستانه تحمل بذر باقلا در برابر تنش شوری بود.

مواد و روش‌ها

این آزمایش در بهار سال ۱۴۰۳ در آزمایشگاه دانشگاه ایلام اجرا شد. آزمایش به صورت فاکتوریل بر پایه طرح کاملاً تصادفی با چهار تکرار انجام گرفت. عامل‌های آزمایش شامل پتاسیم سیلیکات در چهار سطح (۰، ۵۰، ۱۰۰ و ۱۵۰ میلی‌گرم در لیتر پتاسیم سیلیکات) و پنج سطح تنش شوری شامل (۰، ۱، ۴، ۸ و ۱۰ دسی‌زیمنس بر متر) بودند.

برای اجرای این آزمایش از بذر باقلا ضدغوفونی شده رقم لو زدی اتونو محصول شرکت فیتو اسپانیا استفاده گردید. برای انجام پرایمینگ، بذرهای باقلا به مدت ۱۰ ساعت درون پتاسیم سیلیکات با غلظت‌های مختلف برآسانس نوع تیمارها قرار گرفته و سپس در دمای اتاق خشک شدند، همچنین برای غلظت صفر میلی‌گرم پتاسیم سیلیکات، بذرها در آب مقطر بدون افروزن پتاسیم سیلیکات به مدت ۱۰ ساعت نگهداری شدند.

برای اعمال تنش شوری با غلظت‌های مورد نظر، از نمک سدیم کلرید (NaCl) با جرم مولی ۵۸/۴۴ گرم بر مول مطابق Meot-Duros & Magne, (2008) معادله‌های ۱ و ۲ استفاده شد.

$$\text{معادله (۱)} \quad \text{TDS (mg.L}^{-1}\text{)} = \text{EC (dS.m}^{-1}\text{)} \times 640$$

$$\text{معادله (۲)} \quad \text{TDS (mg.L}^{-1}\text{)} = \text{EC (dS.m}^{-1}\text{)} \times 800$$

بیشتر از هفت دسی‌زیمنس بر متر

برای انجام این آزمایش، تعداد ۸۰ پتری پلاستیکی با قطر ۱۰ سانتی‌متر تهیه شد. در هر پتری، ۱۰ عدد بذر باقلا روی کاغذ صافی قرار گرفت. محلول‌های نمک سدیم کلرید با

که در آن، Y : نشان‌دهنده درصد جوانهزنی بذر باقلا در سطوح مختلف شوری EC : Y_{max} : حداکثر درصد جوانهزنی، EC_{50} : نشان‌دهنده سطح شوری است که باعث کاهش ۵۰ درصد جوانهزنی بذور می‌گردد و E_{rate} : شیب مدل را نشان می‌دهد.

علاوه‌بر این از تابع گامپرتز نیز برای نشان دادن درصد جوانهزنی بذر باقلا در سطوح مختلف شوری استفاده شد.

$$Y = Y_{max} \times \exp\left(-\exp\left(-\frac{(EC-EC_0)}{E_{rate}}\right)\right) \quad (11)$$

که در آن، Y : نشان‌دهنده درصد جوانهزنی، EC : نشانگر سطوح شوری، Y_{max} : بیانگر مجلب بالای منحنی یا همان حداکثر مقدار درصد جوانهزنی، E_{rate} : شیب منحنی یا آهنگ تغییر درصد جوانهزنی به‌ازای هر سطح شوری و EC_0 : سطحی از شوری است که در آن شیب منحنی خطی می‌شود.

ازیابی مدل (همبستگی بین مقادیر پیش‌بینی شده و مشاهده شده) به وسیله شاخص میانگین مربعات ریشه خطا، $RMSE$ ، ضریب تبیین R^2 ، $Adj\ RMSE$ ، شاخص آکائیک^(۱) (AIC) و شاخص آکائیک تصحیح شده^(۲) AICC انجام شد (Anderson & Burnham, 2002). هر چه میزان عددی $RMSE$ کوچک‌تر باشد، بیانگر این مطلب است که مدل برازش مناسبی دارد. اگر $RMSE$ کمتر و $Adj\ RMSE$ نزدیک‌تر به یک باشد، معرف برازش بهترین معادله است. مدلی با میزان AIC کمتر به عنوان مدل بهتر انتخاب می‌شود.

$$AIC = n \times \ln\left(\frac{RSS}{n}\right) + 2 \times K \quad (12)$$

$$AICC = n \times \ln\left(\frac{RSS}{n}\right) + 2 \times K + \frac{2 \times k \times (K+1)}{n-K-1} \quad (13)$$

که در آن‌ها، RSS : مجموع مربعات باقی‌مانده رگرسیون، K : شمار پارامترهای برآورده شده در مدل و n : شمار نقطه‌ها یا نمونه‌ها می‌باشد. اگر اختلاف شاخص آکائیک تصحیح شده دو مدل ۲ و یا کمتر از آن باشد، اختلاف معنی‌داری ندارد. بهترین مدل در مقایسه مدل‌ها، مدلی است که کمترین میزان AICC محاسبه شده را دارد.

تجزیه آماری داده‌ها جهت بررسی اثرات پرایمینگ و تنش شوری بر شاخص‌های جوانهزنی و رشد گیاهچه باقلا با استفاده از نرم‌افزار SAS 9.4 انجام شد. متغیرهای وابسته، شاخص‌های جوانهزنی و رشد گیاهچه (درصد جوانهزنی، سرعت جوانهزنی و شاخص بنیه بذر، طول و وزن خشک ریشه‌چه و ساقه‌چه) و متغیرهای مستقل شامل تنش شوری و پتانسیم سیلیکات بودند. نرمال بودن داده‌ها، با استفاده از آزمون کولموگروف-اسمیرنوف

شوری از مدل ماس و هافمن (Maas & Hoffman, 1977) استفاده گردید.

$$Y = 100 - I(EC-a_0) \quad (7)$$

که در آن، Y : عملکرد نسبی (درصد جوانهزنی)، I : شیب مدل و a_0 : آستانه‌ای از شوری است که در بیشتر از آن مقدار، Y شروع به کاهش می‌کند. زمانی که شوری (EC) مساوی آستانه (a_0) باشد، عملکرد نسبی یا جوانهزنی نسبی (Y) مساوی ۱۰۰ درصد بوده و هیچ‌گونه کاهش عملکرد مشاهده نمی‌شود، اما در شوری‌های بالاتر از حد آستانه (a_0)، عملکرد نسبی یا جوانهزنی نسبی با شیب ثابتی (I) به صورت خطی شروع به کاهش می‌نماید.

Van Genuchten & Hoffman, (1984) مدل سه پارامتری لجستیک (معادله ۸) برای کاهش درصد جوانهزنی بذر تحت پتانسیل‌های مختلف شوری ارائه دادند. این محققان گزارش کردند که واکنش گیاهان به شوری همیشه به صورت خطی نیست، بلکه به صورت سیگموئیدی است. مطابق این مدل، مقدار جولنهزنی نسبی از ابتدا با افزایش هر سطح شوری به صورت غیرخطی شروع به کاهش کرده و در نقطه EC_{50} ، مقدار آن به ۵۰ درصد کاهش می‌یابد.

$$Y = \frac{Y_{max}}{\left(1 + \left(\frac{EC}{EC_{50}}\right)^{E_{rate}}\right)} \quad (8)$$

که در آن، Y : درصد جوانهزنی در سطح شوری، EC_{50} : سطح شوری لازم جهت ۵۰ درصد بازدارندگی حداکثر درصد جوانهزنی و E_{rate} : نشانگر شیب مدل و همیشه بالاتر از یک می‌باشد.

برای کمی‌سازی پاسخ جوانهزنی بذر باقلا در سطوح مختلف پرایمینگ به تنش شوری، از مدل نمایی کاهشی (معادله ۹) استفاده شد.

$$Y = Y_{max} \times \exp(-E_{rate} \times EC) \quad (9)$$

که در آن، Y : نشان‌دهنده درصد جوانهزنی بذر باقلا در سطوح مختلف شوری EC ، Y_{max} : حداکثر درصد جوانهزنی و E_{rate} : نشانگر شیب مدل است.

همچنین داده‌های مربوط به درصد جوانهزنی بذر باقلا در سطوح مختلف پرایمینگ به تنش شوری با یک مدل سیگموئیدی کاهشی (معادله ۱۰) برازش داده شدند (Chauhan & Johnson, 2008).

$$Y = \frac{Y_{max}}{1 + \left(\exp\left(-\frac{(EC-EC_{50})}{E_{rate}}\right)\right)} \quad (10)$$

(Omar et al., 2024). این محققان، تنش اسمزی ناشی از سمیت یون‌ها با کاهش جذب آب در مرحله آبنوشی و در نتیجه کاهش درصد جوانهزنی را گزارش کردند (Omar et al., 2024). تنش شوری سبب رسوب نمک در بخش سطحی خاک شده و در نتیجه باعث کاهش جوانهزنی می‌شود. علاوه‌بر این، استقرار گیاه به‌طور منفی تحت تأثیر کاهش پتانسیل آب خاک قرار گرفته و سبب می‌شود که گیاه در جذب آب و عناصر غذایی با مشکل برخورد کند، و در نهایت تنش شوری باعث تنش اکسیداتیو، سمیت سلولی و عدم تعادل یونی در سلول‌های گیاهی خواهد شد (Kukric et al., 2023). علاوه‌بر این، یون‌های کلر و سدیم اضافی جذب شده با جذب آب می‌تواند باعث سمیت یونی شده و بر فرآیندهای متابولیک در بذرهای جوانه‌زده از طریق فعالیت آنزیمی مانند تنفس، هیدرولیز عناصر غذایی و تولید انرژی تأثیر منفی بگذارد (Naseer et al., 2022). شوری بر رشد و نمو گیاهان از جنبه‌های مختلف به عنوان یکی از عوامل تنش‌های محیطی مؤثر تأثیر می‌گذارد. تنش شوری جذب آب را محدود، از رشد محور جنینی جلوگیری کرده و منجر به خواب ثانویه بذر می‌شود (Farooq et al., 2017b). جذب آب کمتر باعث فعال شدن ضعیف آنزیمهای هیدرولیتیک شده که منجر به کاهش جوانهزنی بذر تحت تنش شوری می‌شود (Nirmala et al., 2016).

سرعت جوانهزنی

سرعت جوانهزنی بذرهای باقلاء تحت شرایط عدم تنش شوری تحت تأثیر پیش‌تیمار با پتاسیم سیلیکات قرار نگرفتند. تحت شرایط شوری چهار دسی‌زیمنس بر متر، کاربرد ۱۰۰ و ۱۵۰ میلی‌گرم پتاسیم سیلیکات بر لیتر باعث افزایش سرعت جوانهزنی بذرهای باقلاء به میزان ۲۴/۱ و ۲۰/۶ درصد در مقایسه با عدم کاربرد پتاسیم سیلیکات شدند. سرعت جوانهزنی بذرهای باقلاء با کاربرد ۱۵۰ میلی‌گرم پتاسیم سیلیکات در لیتر تحت شرایط تنش شوری ۸ و ۱۰ دسی‌زیمنس بر متر به ترتیب به میزان ۲۳/۹ و ۲۶/۷ درصد بیشتر از عدم کاربرد آن بود (جدول ۲).

مورد بررسی قرار گرفت. برای محاسبه مقایسه میانگین از آزمون حداقل اختلاف معنی‌دار (LSD) در سطح احتمال پنج درصد استفاده شد. برآوردهای مدل‌ها با استفاده از رگرسیون غیرخطی و با نرم‌افزار SigmaPlot 14 و رسم نمودارها به‌وسیله نرم‌افزار Excel صورت گرفت.

نتایج و بحث

درصد جوانهزنی

نتایج تجزیه واریانس داده‌ها نشان داد که اثرات تنش شوری، پتاسیم سیلیکات و اثرات متقابل آن‌ها (تنش شوری × پتاسیم سیلیکات) بر درصد جوانهزنی، سرعت جوانهزنی و شاخص بنیه بذر باقلاء معنی‌دار است. همچنین متوسط زمان جوانهزنی تحت اثرات تنش شوری و پتاسیم سیلیکات در سطح احتمال یک درصد قرار گرفت (جدول ۱).

کاربرد پتاسیم سیلیکات تحت شرایط عدم تنش شوری (شوری ۰ و ۱ دسی‌زیمنس بر متر) اثر معنی‌داری بر درصد جوانهزنی بذرهای باقلاء نداشت، اما درصد جوانهزنی با کاربرد ۱۵۰ میلی‌گرم پتاسیم سیلیکات در لیتر تحت شرایط تنش شوری ۴، ۸ و ۱۰ دسی‌زیمنس بر متر به ترتیب ۲۳/۸، ۲۰/۷ و ۲۶/۷ درصد در مقایسه با عدم کاربرد پتاسیم سیلیکات افزایش یافت (شکل ۱).

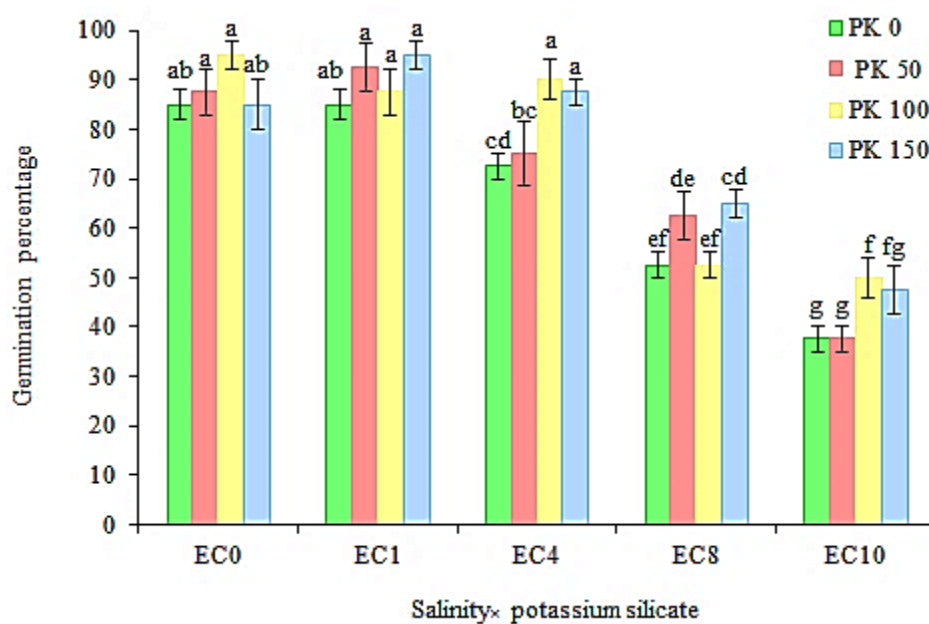
تنش شوری باعث کاهش درصد جوانهزنی بذرهای باقلاء شد، این نتایج با نتایج آنایا و همکاران (Anaya et al., 2018)، عمر و همکاران (Omar et al., 2024) مبنی بر کاهش درصد جوانهزنی بذرهای باقلاء تحت شرایط تنش شوری مطابقت دارد. آنایا و همکاران (Anaya et al., 2018) گزارش کردند که درصد جوانهزنی بذر باقلاء تحت شرایط عدم تنش شوری ۸۰ درصد و در شوری‌های ۹۰، ۱۲۰، ۱۵۰ و ۲۰۰ میلی‌مولا ر نمک به ترتیب ۷۰، ۶۲، ۵۰ و ۴۵ درصد بود. همچنین این پژوهشگران گزارش کردند که کاربرد اسید سالیسیلیک باعث بهبود جوانهزنی باقلاء تحت شرایط تنش شوری می‌شود (Anaya et al., 2018). کاهش درصد جوانهزنی در ارقام باقلاء Giza-716 و Sakha-3 تحت تنش شوری ۱۰۰ میلی‌مولا نمک نیز گزارش شده است

جدول ۱- جدول تجزیه واریانس اثرات پیش‌تیمار با پتاسیم سیلیکات بر شاخص‌های جوانهزنی بذر باقلا تحت شرایط تنفس شوری
Table 1- Analysis of variance for the effects of pretreatment with potassium silicate on faba bean seed germination indices under salinity stress conditions

| منابع تغییرات S.O.V | درجه آزادی df | درصد جوانهزنی Germination percentage | میانگین مربعات Mean squares | | |
|---|------------------|---|--------------------------------|---|-----------------------|
| | | | شاخص بنیه بذر | متوسط زمان جوانهزنی Germination rate | Mean germination time |
| تنفس شوری Salinity | 4 | 6783.1** | 0.5594** | 12.946** | 143.185** |
| پتاسیم سیلیکات Potassium silicate | 3 | 374.6** | 0.0309** | 0.183 ^{ns} | 2.312** |
| تنفس شوری × پتاسیم سیلیکات Salinity × potassium silicate | 12 | 113.1* | 0.0093* | 1.171** | 2.949** |
| خطای آزمایش Error | 60 | 58.8 | 0.0048 | 0.142 | 0.532 |
| ضریب تغییرات (درصد) CV (%) | - | 10.63 | 10.62 | 7.44 | 16.10 |

* و **: به ترتیب معنی‌دار در سطح احتمال پنج و یک درصد، ^{ns}: غیرمعنی‌دار

*, and **: Significant at 5 and 1% probability levels, respectively, ^{ns}: non significant



شکل ۱- اثرات پیش‌تیمار با پتاسیم سیلیکات بر درصد جوانهزنی بذر باقلا تحت شرایط تنفس شوری
Fig. 1- Effects of pretreatment with potassium silicate on the germination percentage of faba bean seeds under salinity stress conditions

جدول ۲- اثرات پیش‌تیمار با پتاسیم سیلیکات بر شاخص‌های جوانهزنی و رشد گیاهچه باقلا تحت شرایط تنفس شوری

Table 2- Effects of pretreatment with potassium silicate on germination and growth indices of faba bean seedlings under salinity stress conditions

| تنفس شوری (دسمیزیمنس بر متر) Salinity (dS.m ⁻¹) | Potassium silicate (mg.l ⁻¹) | Germination rate (seed.day ⁻¹) | Mean germination time (day) | Shoot length (cm) | Shoot dry weight (g.plant ⁻¹) | Root dry weight (g.plant ⁻¹) |
|---|--|--|-----------------------------------|-------------------------|--|---|
| 0 | 0 | 0.773 ^{ab*} | 4.28 ^{fgh} | 4.55 ^{abc} | 0.382 ^{abc} | 0.376 ^b |
| | 50 | 0.795 ^a | 3.93 ^h | 4.63 ^{ab} | 0.406 ^{ab} | 0.393 ^{ab} |
| | 100 | 0.864 ^a | 3.88 ^h | 5.03 ^a | 0.414 ^a | 0.419 ^a |
| | 150 | 0.773 ^{ab} | 3.98 ^{gh} | 4.50 ^{abc} | 0.366 ^{cd} | 0.363 ^{bc} |
| | 0 | 0.773 ^{ab} | 4.63 ^{ef} | 3.98 ^{cd} | 0.321 ^e | 0.315 ^d |
| 1 | 50 | 0.841 ^a | 4.53 ^{ef} | 4.43 ^{bcd} | 0.347 ^{de} | 0.336 ^{cd} |
| | 100 | 0.795 ^a | 4.53 ^{ef} | 3.85 ^{de} | 0.312 ^e | 0.315 ^d |
| | 150 | 0.864 ^a | 4.35 ^{fgh} | 4.73 ^{ab} | 0.376 ^{bcd} | 0.368 ^{bc} |
| | 0 | 0.659 ^{cd} | 4.60 ^{ef} | 2.78 ^f | 0.178 ^{gh} | 0.188 ^{fg} |
| | 50 | 0.682 ^{cb} | 4.48 ^{efg} | 2.83 ^f | 0.188 ^{gh} | 0.176 ^g |
| 4 | 100 | 0.818 ^a | 5.38 ^{bcd} | 3.35 ^{ef} | 0.246 ^f | 0.242 ^e |
| | 150 | 0.795 ^a | 4.90 ^{de} | 3.25 ^f | 0.209 ^g | 0.218 ^{ef} |
| | 0 | 0.478 ^{ef} | 6.75 ^a | 1.70 ^{gh} | 0.125 ^{ij} | 0.110 ^{ij} |
| | 50 | 0.568 ^{ed} | 6.85 ^a | 2.88 ^f | 0.156 ^{hi} | 0.164 ^{gh} |
| | 100 | 0.478 ^{ef} | 5.63 ^b | 1.75 ^{gh} | 0.132 ^{ij} | 0.133 ^{hi} |
| 8 | 150 | 0.591 ^{cd} | 5.68 ^b | 2.95 ^f | 0.172 ^h | 0.180 ^g |
| | 0 | 0.341 ^g | 5.48 ^{bc} | 1.18 ^h | 0.070 ^k | 0.073 ^k |
| | 50 | 0.341 ^g | 5.00 ^{cde} | 1.18 ^h | 0.073 ^k | 0.077 ^{jk} |
| | 100 | 0.455 ^f | 5.60 ^b | 1.80 ^g | 0.131 ^{ij} | 0.117 ⁱ |
| | 150 | 0.432 ^{fg} | 6.78 ^a | 1.70 ^{gh} | 0.117 ^j | 0.120 ^{il} |

* در هر ستون میانگین‌های دارای حروف مشترک براساس آزمون حداقل اختلاف معنی‌دار در سطح احتمال پنج درصد اختلاف معنی‌داری با هم ندارند.

* Means followed by the same letters are not significantly different according to Least Significant Difference (LSD) test ($p<0.05$).

۳۰۰۰ میلی‌گرم در لیتر) گزارش کردند که با نتایج این پژوهش مطابقت دارد. شارما و همکاران (Sharma et al., 2014) گزارش کردند چنانچه جذب آب توسط بذر مختل شود و یا جذب آب به کندي صورت گیرد، فعالیت‌های متابولیکی جوانهزنی در درون بذر به کندي انجام می‌گيرد و در نتیجه مدت زمان خروج ریشه‌چه از بذر افزایش و سرعت جوانهزنی کاهش می‌يابد. ابراهيم (Ibrahim, 2016) گزارش نمود که در سطوح شوری نه‌چندان زياد، القاء حالتی شبیه به خواب بذر، باعث کاهش سرعت جوانهزنی می‌شود.

براساس نتایج اين پژوهش، هر چند تنفس شوری سبب کاهش سرعت جوانهزنی بذور باقلا شد، اما پیش‌تیمار بذور با پتاسیم سیلیکات تا حدودی از کاهش سرعت جوانهزنی ممانعت کرده است. وانگ و همکاران (Wang et al., 2010) بيان کردنده است که اعمال سیلیکون باعث افزایش سرعت و درصد جوانهزنی گیاه Momordica charantia L. در سطوح مختلف تنفس شوری شد. افزایش غلطت شوری در محیط‌های جوانهزنی اغلب باعث تأخیر در شروع جوانهزنی می‌شود (Abayechaw & Wulchafo, 2020). این بدان معنی است که سطوح بالای نمک طعام نه تنها درصد جوانهزنی را کاهش داده، بلکه جوانهزنی بذر را نیز به تأخیر می‌اندازد. بکیت و همکاران (Bekhiet et al., 2022) کاهش سرعت جوانهزنی باقلا را در غلطت‌های بالای نمک

شاخص بنیه گیاهچه باقلا گردید. تنش شوری با کاهش درصد جوانهزنی و شاخص‌های رشد گیاهچه باعث کاهش کیفیت بذر و شاخص بنیه گیاهچه باقلا شد. افزایش سطح تنش شوری از طریق کاهش مقدار رطوبت بافت گیاهچه، راثر کاهش فشار آماس و تجمع ماده خشک در بافت‌های ذخیره‌ای ریشه و ایجاد فعالیت‌های غیرطبیعی در اثر سمیت یون‌های سدیم و کلر و ایجاد پتانسیل اسمزی منفی در گیاهچه باعث کاهش بنیه بذر می‌گردد (Sharma et al., 2004). همچنین، کاهش شاخص‌های بنیه تحت تنش شوری ممکن است به دلیل کاهش تقسیم سلولی و افزایش تنفس باشد (Tao et al., 2018). کاهش شاخص بنیه بذر ماش نیز تحت تنش شوری گزارش شده است (Nirmala et al., 2016) که با نتایج این پژوهش مطابقت دارد.

طول ساقه‌چه

طول ساقه‌چه باقلا تحت اثرات تنش شوری و کاربرد پتانسیم سیلیکات و اثرات متقابل (تنش شوری × پتانسیم سیلیکات) در سطح احتمال یک درصد قرار گرفت (جدول ۳). طول ساقه‌چه باقلا در شرایط عدم تنش شوری تحت اثرات کاربرد پتانسیم سیلیکات قرار نگرفت، اما کاربرد ۱۰۰ میلی‌گرم در لیتر پتانسیم سیلیکات در سطح شوری ۱۰ دسی‌زیمنس بر متر باعث بهبود طول ساقه‌چه باقلا به میزان ۵۳/۲ درصد در مقایسه با عدم کاربرد آن شد (جدول ۲). تنش شوری باعث کاهش طول ساقه‌چه بذرها باقلا گردید، زیرا تنش شوری دارای اثر بازدارنده بر ظهور بافت‌های جنین است (Gao et al., 2015). این نتایج با مطالعات احمد و ستار (Ahmed & Sattar, 2015) مطابقت دارد. احمد و ستار (Ahmed & Sattar, 2024) گزارش کردند که طول ساقه‌چه باقلا از ۲۵/۵ سانتی‌متر تحت شرایط عدم تنش شوری تا ۲۱/۳ سانتی‌متر در شرایط شوری ۱۰۰ میلی‌مولار متغیر است. بسیاری از پژوهشگران، دلیل کاهش رشد گیاهچه در شرایط تنش شوری را جلوگیری از انتقال مواد غذایی از لپه به جنین گزارش نموده‌اند. علاوه‌بر این، با افزایش شوری محلول اطراف بذر، جذب آب توسط بذر دچار اختلال شده، ترشح هورمون‌ها و فعالیت آنزیم‌ها کمتر شده و در نتیجه رشد گیاهچه کاهش می‌یابد (Basra et al., 2005). بنابراین، پیش‌تیمار با پتانسیم سیلیکات با تحریک بسیاری از فرآیندهای متابولیک در مراحل اولیه جوانهزنی سبب افزایش طول ساقه‌چه باقلا تحت شرایط تنش شوری شده است.

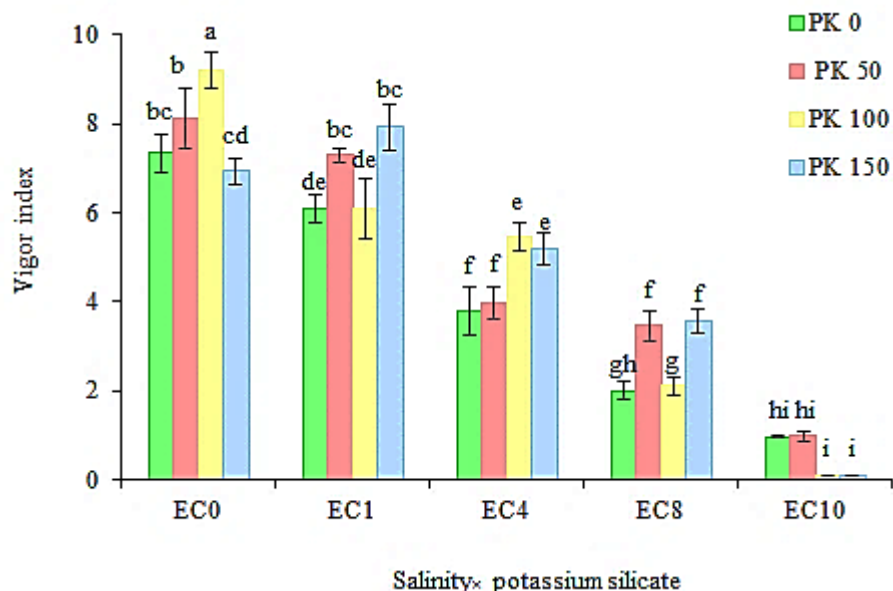
مدت زمان جوانهزنی

متوسط زمان جوانهزنی با اعمال تنش شوری افزایش یافت. تحت شرایط تنش شوری هشت دسی‌زیمنس بر متر، کاربرد مقدار ۱۰۰ و ۱۵۰ میلی‌گرم در لیتر پتانسیم سیلیکات باعث کاهش مدت زمان جوانهزنی بذرها باقلا شد، اما تحت شرایط تنش شوری ۱۰ دسی‌زیمنس بر متر، کاربرد ۱۵۰ میلی‌گرم در لیتر پتانسیم سیلیکات باعث افزایش مدت زمان جوانهزنی بذرها باقلا به میزان ۲۴/۲ درصد شد (جدول ۲). تحت تنش شوری متسط، زمان جوانهزنی افزایش یافت، بیشتر بودن میزان این صفت یعنی اینکه بذرها در مدت زمان بیشتری جوانه زدن. متسط زمان جوانهزنی بذر ویژگی بسیار مهمی در استقرار گیاهچه و استفاده مطلوب از شرایط محیطی است. به طور کلی، تنش شوری به وسیله افزایش فشار اسمزی و یا اثرات سمیت یونی باعث کاهش جذب آب و تحت تأثیر قرار گرفتن فرآیندهای متابولیکی و فیزیولوژیکی شده، لذا منجر به کاهش طول و وزن گیاهچه و تأخیر در جوانهزنی و به دنبال آن کاهش سرعت جوانهزنی بذر می‌شود (Keshiban et al., 2014). نتایج نشان داد که زمان جوانهزنی بذر باقلا تحت تنش شوری متسط افزایش یافت که با نتایج سعادت و همکاران (Saadat et al., 2023) روی لوبیا (*Phaseolus vulgaris* L.) مطابقت دارد.

شاخص بنیه بذر

کاربرد ۱۰۰ میلی‌گرم در لیتر پتانسیم سیلیکات تحت شرایط عدم تنش شوری، شاخص بنیه بذر باقلا را ۲۵/۴ درصد در مقایسه با عدم کاربرد آن افزایش داد. شاخص بنیه بذر باقلا تحت شرایط تنش شوری یک دسی‌زیمنس بر متر با کاربرد ۱۵۰ میلی‌گرم پتانسیم سیلیکات در لیتر ۳۰/۱ درصد افزایش یافت. کاربرد ۱۰۰ و ۱۵۰ میلی‌گرم در لیتر پتانسیم سیلیکات تحت شرایط تنش شوری چهار دسی‌زیمنس بر متر باعث افزایش شاخص بنیه بذر به ترتیب به میزان ۳۷/۹ و ۴۴/۴ درصد در مقایسه با عدم کاربرد آن شد. کاربرد ۵۰ و ۱۵۰ میلی‌گرم در لیتر پتانسیم سیلیکات تحت شرایط تنش شوری هشت دسی‌زیمنس بر متر باعث بهبود شاخص بنیه بذر باقلا به ترتیب به میزان ۷۳/۷ و ۷۹/۰ درصد گردید (شکل ۲).

شاخص بنیه گیاهچه یکی از مهم‌ترین خصوصیاتی است که افزایش مقدار آن نشان‌دهنده بهبود کیفیت و قدرت جوانهزنی بذر است. در این پژوهش، پتانسیم سیلیکات با بهبود شاخص‌های رشد گیاهچه و درصد جوانهزنی سبب افزایش



شکل ۲- اثرات پیش تیمار با پتاسیم سیلیکات بر شاخص بنیه بذر باقلا تحت شرایط تنفس شوری

Fig. 2- Effects of pretreatment with potassium silicate on the vigor index of faba bean seeds under salinity stress conditions

جدول ۳- جدول تجزیه واریانس اثرات پیش تیمار با پتاسیم سیلیکات بر شاخص‌های رشد گیاهچه باقلا تحت شرایط تنفس شوری

Table 3- Analysis of variance of effects of pretreatment with potassium silicate on faba bean seedling growth indices under salinity stress conditions

| منابع تغییرات S.O.V | درجه آزادی df | میانگین مربعات Mean squares | | | |
|---|------------------|--------------------------------|----------------------------|-------------------------------------|------------------------------------|
| | | طول ساقه‌چه Shoot length | طول ریشه‌چه Root length | وزن خشک ساقه‌چه Shoot dry weight | وزن خشک ریشه‌چه Root dry weight |
| تنفس شوری Salinity | 4 | 28.282** | 15.416** | 0.2522** | 0.2429** |
| پتاسیم سیلیکات Potassium silicate | 3 | 1.174** | 0.402 ^{ns} | 0.0046** | 0.0057** |
| تنفس شوری×پتاسیم سیلیکات Salinity×potassium silicate | 12 | 0.596** | 0.391 ^{ns} | 0.0024** | 0.0022** |
| خطای آزمایش Error | 60 | 0.171 | 0.304 | 0.0006 | 0.0007 |
| ضریب تغییرات (درصد) CV (%) | - | 13.13 | 19.32 | 10.40 | 11.15 |

* و **: بهترتب معنی دار در سطح احتمال پنج و یک درصد؛ ns: غیرمعنی دار

* and **: Significant at 5 and 1% probability levels, respectively; ns: non significant

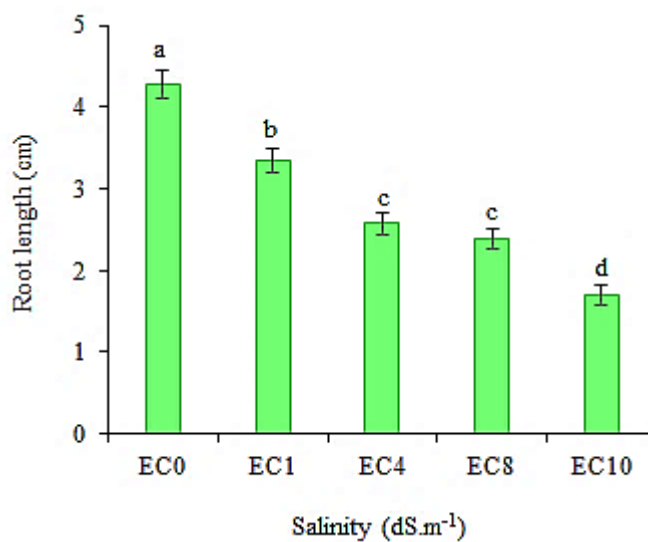
شوری در سطوح ۱، ۴، ۸ و ۱۰ دسی‌زیمنس بر متر، طول

ریشه‌چه باقلا به ترتیب ۲۱/۸، ۳۹/۷، ۴۴/۲ و ۶۰/۰ درصد در

مقایسه با عدم تنفس شوری کاهش یافت (شکل ۳).

طول ریشه‌چه

طول ریشه‌چه باقلا فقط تحت تأثیر کاربرد پتاسیم سیلیکات در سطح احتمال یک درصد قرار گرفت (جدول ۳). با اعمال تنفس



شکل ۳- طول ریشه‌چه باقلا تحت شرایط تنش شوری

Fig. 3- Root length of faba bean seeds under salinity stress conditions

وزن خشک ساقه‌چه

نتایج تجزیه واریانس داده‌ها نشان‌دهنده معنی‌دار بودن اثرات تنش شوری، پتاسیم سیلیکات و اثرات متقابل آن‌ها (تنش شوری \times پتاسیم سیلیکات) در سطح احتمال یک درصد بر وزن خشک ساقه‌چه باقلا هستند (جدول ۳). بیشترین وزن خشک ساقه‌چه ($0.414/0$ گرم در بوته) با کاربرد 100 میلی‌گرم در لیتر پتاسیم سیلیکات تحت شرایط عدم تنش شوری مشاهده شد که در مقایسه با عدم کاربرد آن $8/5$ درصد بیشتر بود. تحت شرایط تنش شوری 10 دسی‌زیمنس بر متر کاربرد 100 و 150 میلی‌گرم در لیتر پتاسیم سیلیکات باعث بهبود وزن خشک ساقه‌چه باقلا به میزان $8/5$ و $66/5$ درصد در مقایسه با عدم کاربرد آن شد (جدول ۲).

آنایا و همکاران (Anaya et al., 2018) نتایج مشابهی را گزارش کردند. توکلی و همکاران (Tavakkoli et al., 2024) کاهش ماده خشک دو رقم باقلا (ارقام Fiesta و Cairo) را تحت تنش شوری $8/5$ و $15/8$ دسی‌زیمنس بر متر نیز گزارش کردند. احمد و ستار (Ahmed & Sattar, 2024) کاهش وزن خشک ساقه‌چه باقلا تحت شرایط تنش شوری 100 میلی‌مولا را به میزان $45/4$ درصد نشان دادند. احتمالاً کاهش وزن خشک ساقه‌چه باقلا تحت شرایط تنش شوری ناشی از کاهش سنتز و فعالیت آنزیم‌های موردنیاز در رشد دونمو بذر است، زیرا شوری زیاد، سنتز و فعالیت آنزیم‌های تجزیه کننده ذخایر بذر را محدود می‌کند، و در نتیجه وزن خشک ساقه‌چه را کاهش می‌دهد (Kaur et al., 2022). پتاسیم سیلیکات با افزایش مقدار

ریشه بیشتر از سایر اندام‌ها به علت ارتباط مستقیم با خاک و آب در معرض تنش شوری قرار دارد و به عنوان یک فیلتر، عبور یون‌ها را کنترل کرده و نسبت بهینه یون‌های پتاسیم و سدیم را برای فعالیت‌های سلول فراهم می‌سازد (Bavarsadi et al., 2017). تحت شرایط سطوح بالای نمک، کاهش پتاسیم آب و یا افزایش مقدار املاح مضر در محیط رشد گیاه سبب کاهش طول ریشه‌چه می‌شود. در چنین وضعیتی، بخش اساسی انرژی ریشه صرف جذب فعال عناصر غذایی مورد نیاز شده و در نتیجه انرژی اختصاص یافته به رشد ریشه کاهش می‌یابد. کاهش طول ریشه باقلا تحت شرایط تنش شوری در سایر مطالعات نیز گزارش شده است که نشان‌دهنده حساسیت باقلا به تنش شوری است (Hafez et al., 2021; Ahmed & Sattar, 2024). احمد و ستار (Ahmed & Sattar, 2024) گزارش کردند که طول ریشه‌چه باقلا تحت شرایط تنش شوری 100 میلی‌مولا را $41/9$ درصد کاهش می‌یابد. حافظ و همکاران (Hafez et al., 2021) نشان دادند که کاربرد پتاسیم سیلیکات اثر مثبتی بر شاخص‌های رشد ریشه باقلا (طول ریشه، وزن خشک ریشه و تعداد گره) تحت شرایط تنش شوری دارد. اثرات مثبت پتاسیم سیلیکات را می‌توان به نقش تقویت‌کننده پتاسیم و سیلیکات در سیستم‌های نقل و انتقال سلولی که علاوه‌بر بهبود نفوذپذیری آب و حفظ آب، عناصر غذایی و آب را نیز منتقل می‌کنند، نسبت داد (Rawat et al., 2016). اعتمادی و همکاران (Etesami & Adl, 2020) گزارش کردند که کاربرد سیلیکون باعث کاهش جذب سدیم، ممانعت از رسوب سدیم در ریشه‌های تحت تنش شوری و افزایش جذب پتاسیم می‌شود.

ریشه‌چه می‌شود. کاٹوی و همکاران (Kuai et al., 2017) گزارش دادند که کاربرد سیلیکس باعث افزایش قطر ریشه و مقدار لیگنینی در مراحل اولیه جوانهزنی در گیاه کلزا (*Brassica napus* L.) می‌شود.

همبستگی صفات

بین شاخص‌های جوانهزنی (شامل درصد جوانهزنی، سرعت جوانهزنی و شاخص بنیه بذر) با شاخص‌های رشد گیاهچه (شامل طول ساقه‌چه و وزن خشک ساقه‌چه و ریشه‌چه) همبستگی مثبت و معنی‌داری مشاهده شد، اماً مدت زمان جوانهزنی با این صفات همبستگی منفی و معنی‌داری داشت (شکل ۴).

اثرات پیش‌تیمار بر آستانه تحمل به تنش شوری باقلا در مرحله جوانهزنی با استفاده از مدل‌های مختلف تجربی براساس معادله ماس و هافمن، حد آستانه تحمل به تنش شوری در باقلا براساس جوانهزنی نسبی با عدم کاربرد پتاسیم سیلیکات ۰/۵۲ و شیب کاهش آن ۵/۴۸ بود. حد آستانه تحمل به تنش شوری در باقلا با کاربرد ۵۰، ۱۰۰ و ۱۵۰ میلی‌گرم در لیتر پتاسیم سیلیکات به ترتیب ۰/۶۲، ۰/۲۲ و ۰/۳۲ بود و شیب کاهش آن نیز ۵/۱۷، ۴/۹۳ و ۴/۲۲ بود (شکل ۵ و جدول ۴). هر چند آستانه تحمل به تنش شوری با کاربرد ۱۰۰ میلی‌گرم در لیتر پتاسیم سیلیکات کاهش یافت، اماً آستانه تحمل به تنش شوری با کاربرد ۱۵۰ میلی‌گرم در لیتر پتاسیم سیلیکات در باقلا افزایش و شیب کاهشی آن تا حدودی کمتر شده است که نشان‌دهنده افزایش تحمل به تنش شوری در باقلا با اعمال پتاسیم سیلیکات است.

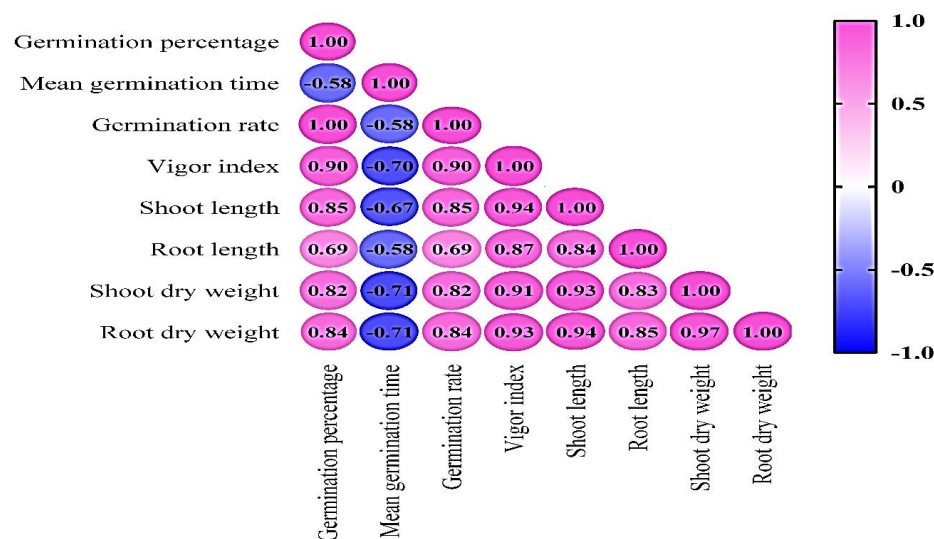
آنایا و همکاران (Anaya et al., 2018) گزارش کردند که بذرهای باقلا در مرحله جوانهزنی به تنش شوری حساس هستند که با نتایج این پژوهش مطابقت دارد. یکی از حساس‌ترین مراحل رشد به تنش شوری در طول رشد دونمو گیاه باقلا، مرحله جوانهزنی بذر است. جوانهزنی بذرها به شدت توسط تنش شوری مهار می‌شود (Wu et al., 2019). تنش شوری، جوانهزنی بذر را به دلایل مختلف کاهش می‌دهد. شوری رشد گیاهچه را به تأخیر می‌اندازد، فرآیندهای مهم سلولی را مختل می‌کند و با تغییر سرعت سبز شدن و رشد در اکثر گیاهان زراعی، بر ریخت‌شناسی گیاه در سراسر مرحله گیاهچه تأثیر می‌گذارد (El-Badri et al., 2021).

سیلیکون، لیگنین و سلولز در ساقه‌ها باعث افزایش ماده خشک در گیاه می‌شود (Gong et al., 2021).

وزن خشک ریشه‌چه

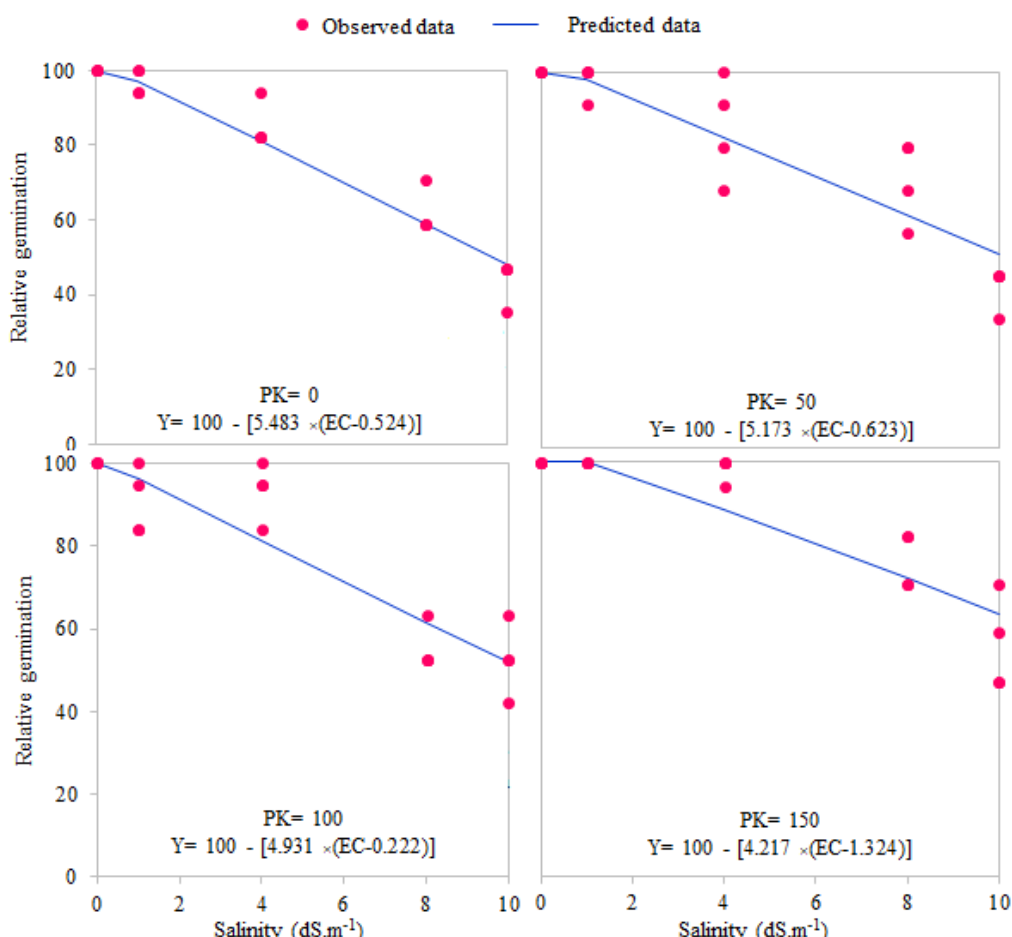
نتایج مندرج در جدول ۳ نشان داد که اثرات تنش شوری، پتاسیم سیلیکات و اثرات متقابل آن‌ها (تنش شوری × پتاسیم سیلیکات) در سطح احتمال یک درصد بر وزن خشک ریشه‌چه باقلا معنی‌دار بود (جدول ۳). بیشترین وزن خشک ریشه‌چه (۰/۴۱۹ گرم در بوته) با کاربرد ۱۰۰ میلی‌گرم در لیتر پتاسیم سیلیکات تحت شرایط عدم تنش شوری مشاهده شد که در مقایسه با عدم کاربرد آن ۱۱/۵ درصد بیشتر بود. کاربرد ۱۰۰ و ۱۵۰ میلی‌گرم در لیتر پتاسیم سیلیکات تحت شرایط تنش شوری ۱۰ دسی‌زیمنس بر متر باعث بهبود وزن خشک ریشه‌چه باقلا بهمیزان ۶۵/۶ و ۶۰/۱ درصد در مقایسه با عدم کاربرد آن شد (جدول ۲).

وزن خشک ریشه‌چه باقلا تحت تنش شوری کاهش یافت. احمد و ستار (Ahmed & Sattar, 2024) نتایج مشابهی مبنی بر کاهش وزن خشک ریشه‌چه باقلا بهمیزان ۵۷/۱ درصد تحت شرایط تنش شوری ۱۰۰ میلی‌مولار نمک گزارش کردند که با نتایج این پژوهش مطابقت دارد. لاتف و همکاران (Latef et al., 2021) گزارش کردند که وزن تر ریشه، وزن خشک ریشه، وزن تر ساقه و وزن خشک ساقه تحت تنش شوری ۱۵۰ میلی‌مولار نمک به ترتیب بهمیزان ۴۸/۷، ۷۰/۴، ۴۲/۱ و ۵۹/۷ درصد کاهش یافت. کاهش وزن خشک ریشه‌چه تحت تنش شوری به علت کاهش تقسیم سلولی و رشد، از بین رفت تعادل یونی و اسمزی است. ریشه اولین اندامی است که نقش جذب آب و عناصر غذایی را به عهده دارد و تنش شوری بیشتر از بخش ریشه به گیاه وارد می‌شود، لذا ریشه اولین بخشی است که با تنش شوری روبرو می‌شود. نیتندو و همکاران (Netondo et al., 2004) گزارش کردند که رسوب نمک در ریشه در حال رشد علت اصلی کم‌آبی فیزیولوژیکی و در نهایت کاهش تقسیم سلولی، کاهش رشد ریشه و شاخص بنیه بذر است. پیش‌تیمار با پتاسیم سیلیکات باعث بهبود وزن ریشه در سطوح مختلف تنش شوری شد که این امر به علت نقش سیلیسیم در افزایش آسیمیلاسیون گیاهی و پتاسیم در سرعت بخشیدن به سنتز و نقل و انتقال کربوهیدرات است که در نهایت سبب افزایش ماده خشک گیاه می‌شود. پتاسیم سیلیکات با رسوب در دیواره سلولی و افزایش ضخامت دیواره سلولی باعث افزایش وزن



شکل ۴- همبستگی بین شاخص‌های جوانهزنی و رشد گیاهچه

Fig. 4- Correlation between germination indices and seedling growth



شکل ۵- اثرات پتاسیم سیلیکات بر جوانهزنی نسبی بذرهای باقلاء به تنش شوری براساس معادله ماس و هافمن (Maas & Hoffman, 1977)

Fig. 5- Effects of potassium silicate on relative germination of faba bean seeds under salinity stress based on the Maas & Hoffman, 1977; equation

۱۰۰ و ۱۵۰ میلی‌گرم در لیتر پتاسیم سیلیکات براساس مدل لجستیک به ترتیب ۹/۳۷، ۹/۷۱، ۹/۸۷ و ۱۰/۳۰ دسی‌زیمنس بر متر و براساس مدل سیگموئیدی به ترتیب ۹/۴۱، ۸/۷۵ و ۹/۳۸ دسی‌زیمنس بر متر بود (جدول ۵ و شکل ۶).

براساس مدل نمایی، بیشترین درصد جوانهزنی بذر باقلاً با کاربرد مقادیر مختلف ۰، ۵۰، ۱۰۰ و ۱۵۰ میلی‌گرم در لیتر پتاسیم سیلیکات به ترتیب ۸۹/۳۳، ۹۴/۹۴، ۹۷/۴۸ و ۹۴/۷۷ به دست آمد. سطحی از تنفس شوری که باعث کاهش ۵۰ درصد جوانهزنی بذر باقلاً می‌شود با کاربرد مقادیر مختلف ۰، ۵۰.

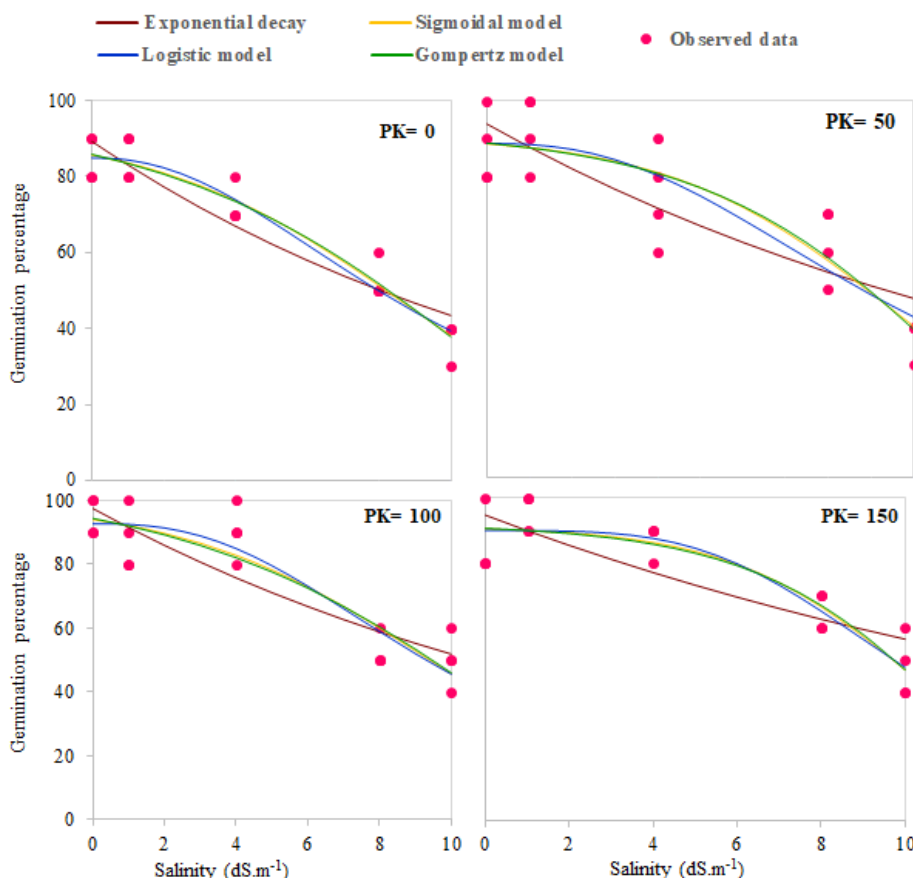
جدول ۴- پارامترهای معادله ماس و هافمن (Maas & Hoffman, 1977) برای جوانهزنی نسبی بذرهاي باقلا به پتاسیم سیلیکات تحت تنفس شوري

Table 4- Parameters of the Maas & Hoffman, 1977; equation for relative germination of faba bean seeds to potassium silicate under salinity stress

| پتاسیم سیلیکات Potassium silicate | شیب مدل l | حد آستانه a ₀ | Adj R ² | RMSE |
|--------------------------------------|-------------------|-------------------------------|--------------------|-------|
| 0 | 5.48** \pm 0.32 | 0.52 ^{ns} \pm 0.33 | 0.94 | 5.51 |
| 50 | 5.17** \pm 0.58 | 0.62 ^{ns} \pm 0.62 | 0.81 | 10.02 |
| 100 | 4.93** \pm 0.53 | 0.22 ^{ns} \pm 0.62 | 0.82 | 9.10 |
| 150 | 4.22** \pm 0.50 | 1.32* \pm 0.61 | 0.78 | 8.74 |

* و **: به ترتیب معنی‌دار در سطح احتمال پنج و یک درصد؛ ns: غیرمعنی‌دار

*, and **: Significant at 5 and 1% probability levels, respectively; ns: non significant



شکل ۶- روند جوانهزنی بذر باقلا تحت اثرات پیش‌تیمار با پتاسیم سیلیکات و تنفس شوري با استفاده از مدل‌های مختلف تجربی

Fig. 6- Germination process of faba bean seeds under the effects of pretreatment with potassium silicate and salinity stress using different experimental models

جدول ۵- پارامترهای مدل‌های مختلف به دست آمده برای جوانه‌زنی بذر باقلا تحت اثرات پیش‌تیمار با پتابسیم سیلیکات و تنش شوری

Table 5- Parameters of different models obtained for bean seed germination under the effects of pretreatment with potassium silicate and salinity stress

| Pretreatment | Potassium silicate | Type of model | Model | $Y_{max} \pm SE$ | $Erate \pm SE$ | $EC50 \pm SE$ | $E_0 \pm SE$ |
|--------------|--------------------|-------------------|-------------------|------------------|----------------|----------------|----------------|
| 0 | مدل نمایی | Exponential decay | Exponential decay | 89.33** ± 2.49 | 0.07** ± 0.01 | | |
| | | Logistic model | Logistic model | 84.98** ± 1.97 | 2.24** ± 0.37 | 9.37** ± 0.43 | |
| | | Sigmoidal model | Sigmoidal model | 92.76** ± 6.35 | -3.50** ± 0.78 | 8.75** ± 0.57 | |
| | | Gompertz model | Gompertz model | 97.29** ± 9.26 | -4.94** ± 1.41 | | 10.28** ± 0.41 |
| 50 | مدل نمایی | Exponential decay | Exponential decay | 93.94** ± 4.27 | 0.07** ± 0.01 | | |
| | | Logistic model | Logistic model | 88.79** ± 3.83 | 2.53** ± 0.87 | 9.71** ± 0.79 | |
| | | Sigmoidal model | Sigmoidal model | 91.00** ± 6.35 | -2.58* ± 0.97 | 9.41** ± 0.54 | |
| | | Gompertz model | Gompertz model | 92.36** ± 7.46 | -3.24* ± 1.32 | | 10.52** ± 0.50 |
| 100 | مدل نمایی | Exponential decay | Exponential decay | 97.48** ± 3.84 | 0.06** ± 0.01 | | |
| | | Logistic model | Logistic model | 92.74** ± 3.15 | 2.64** ± 0.75 | 9.87** ± 0.63 | |
| | | Sigmoidal model | Sigmoidal model | 100.32** ± 10.26 | -3.46* ± 1.35 | 9.38** ± 0.79 | |
| | | Gompertz model | Gompertz model | 106.10** ± 17.31 | -5.09ns ± 2.70 | | 10.91** ± 0.67 |
| 150 | مدل نمایی | Exponential decay | Exponential decay | 94.77** ± 3.98 | 0.05** ± 0.01 | | |
| | | Logistic model | Logistic model | 89.98** ± 2.54 | 3.79** ± 1.16 | 10.30** ± 0.52 | |
| | | Sigmoidal model | Sigmoidal model | 91.36** ± 3.52 | -2.16** ± 0.65 | 10.10** ± 0.37 | |
| | | Gompertz model | Gompertz model | 92.18** ± 4.19 | -2.68** ± 0.89 | | 11.03** ± 0.50 |

* و **: به ترتیب معنی دار در سطح احتمال پنج و یک درصد، ns: غیرمعنی دار

*, and **: Significant at 5 and 1% probability levels, respectively, ns: non significant

دیگری که با استفاده از آن برای ارزیابی مدل استفاده می‌شود، ریشه میانگین مربعات خطای می‌باشد که در سطوح مختلف پتابسیم سیلیکات، مقدار آن برای مدل‌های سه پارامتری (لجرتیک، سیگموئیدی و گامپرتز) در مقایسه با مدل دو پارامتری نمایی کمتر می‌باشد که کم بودن مقدار آن نشان‌دهنده میزان دقت بالای مدل در شبیه‌سازی جوانه‌زنی بذرهاست. همچنین مقدار ضریب آکائیک تصحیح شده برای مدل‌های سه پارامتری (لجرتیک، سیگموئیدی و گامپرتز) در شرایط عدم کاربرد پتابسیم سیلیکات کمترین مقدار بود. بنابراین این مدل‌ها به خوبی توانستند که درصد جوانه‌زنی باقلا به تنش شوری در سطوح مختلف پتابسیم سیلیکات را شبیه‌سازی نمایند (جدول ۶).

برازش چهار مدل (مدل دو پارامتری نمایی، مدل سه پارامتری لجرتیک، سیگموئیدی و گامپرتز) به داده‌های درصد جوانه‌زنی بذرها تحت شرایط تنش شوری با کاربرد سطوح مختلف پتابسیم سیلیکات نشان داد که سه مدل لجرتیک، سیگموئیدی و گامپرتز روند تقریباً یکسانی داشتند و به دلیل R^2 بالا قادر به ارائه توصیف خوبی از پاسخ جوانه‌زنی باقلا به تنش شوری در سطوح مختلف پتابسیم سیلیکات بودند. بیشترین ضریب تبیین ($R^2 = 0.93$) درصد جوانه‌زنی باقلا به تنش شوری براساس مدل‌های لجرتیک، سیگموئیدی و گامپرتز تحت شرایط عدم کاربرد پتابسیم سیلیکات مشاهده شد که این امر نشان‌دهنده این است که با توجه به مشاهدات، مدل مورد استفاده به احتمال ۹۳ درصد تغییرات درصد جوانه‌زنی باقلا به تنش شوری را درست پیش‌بینی نموده است. آماره

جدول ۶- ارزیابی مدل‌های مختلف به دست آمده برای جوانهزنی بذر باقلا تحت اثرات پیش‌تیمار با پتاسیم سیلیکات و تنش شوری

Table 6- Evaluation of different models obtained for faba bean seed germination under the effects of pretreatment with potassium silicate and salinity stress

| پتاسیم سیلیکات Potassium silicate | نوع مدل | Model | Adj R ² | RMSE | AIC | AICc |
|--------------------------------------|---------------|-------------------|--------------------|-------|--------|--------|
| 0 | مدل نمایی | Exponential decay | 0.89 | 6.67 | -17.97 | -17.27 |
| | مدل لجستیک | Logistic model | 0.93 | 5.29 | -20.59 | -19.09 |
| | مدل سیگموئیدی | Sigmoidal model | 0.93 | 5.14 | -21.19 | -19.69 |
| | مدل گامپرت | Gompertz model | 0.93 | 5.11 | -21.30 | -19.80 |
| 50 | مدل نمایی | Exponential decay | 0.73 | 11.46 | -7.14 | -6.43 |
| | مدل لجستیک | Logistic model | 0.77 | 10.61 | -6.68 | -5.18 |
| | مدل سیگموئیدی | Sigmoidal model | 0.78 | 10.21 | -7.44 | -5.94 |
| | مدل گامپرت | Gompertz model | 0.79 | 10.06 | -7.74 | -6.24 |
| 100 | مدل نمایی | Exponential decay | 0.76 | 10.35 | -9.18 | -8.47 |
| | مدل لجستیک | Logistic model | 0.83 | 8.80 | -10.41 | -8.91 |
| | مدل سیگموئیدی | Sigmoidal model | 0.81 | 9.23 | -9.47 | -7.97 |
| | مدل گامپرت | Gompertz model | 0.80 | 9.38 | -9.14 | -7.64 |
| 150 | مدل نمایی | Exponential decay | 0.68 | 10.84 | -8.26 | -7.55 |
| | مدل لجستیک | Logistic model | 0.83 | 7.86 | -12.68 | -11.18 |
| | مدل سیگموئیدی | Sigmoidal model | 0.82 | 7.99 | -12.34 | -10.84 |
| | مدل گامپرت | Gompertz model | 0.82 | 8.07 | -12.16 | -10.66 |

شاخص‌های جوانهزنی بذرهاي باقلا شدند. از مدل‌های مختلف تجربی برای تعیین حد آستانه تحمل به شوری در گیاه باقلا استفاده شد. آستانه تحمل به شوری در گیاه باقلا زیر یک برآورد گردید. شبیب کاهش آن برابر ۵-۴ بود. مقدار شوری که در آن درصد جوانهزنی به ۵۰ درصد کاهش یافت بین ۱۰-۹ دسی‌زیمنس بر متر بود. بنابراین می‌توان پیشنهاد نمود که از پتاسیم سیلیکات به عنوان یک روش امیدبخش برای کاهش اثرات شوری در مرحله جوانهزنی و استقرار گیاهچه باقلا استفاده شود.

سپاسگزاری

از معاونت پژوهشی و فناوری دانشگاه ایلام به خاطر حمایت از انجام این رساله دکتری تشکر و قدردانی می‌گردد.

نتیجه‌گیری

از آنجاکه گیاهان زراعی در بسیاری از مناطق نیمه‌خشک و خشک جهان در معرض تنش شوری قرار دارند، مرحله جوانهزنی یکی از مراحل حساس رشدی گیاه است که می‌تواند تحت تأثیر تنش شوری واقع شود. نمک در این مرحله خسارت جبران ناپذیری به گیاه وارد می‌کند. نتایج حاصل از این پژوهش نشان داد که گیاه زراعی باقلا در مرحله جوانهزنی به تنش شوری حساس است و با اعمال تنش شوری، شاخص‌های جوانهزنی بذر آن مانند درصد جوانهزنی، سرعت جوانهزنی و بنیه بذر کاهش می‌یابد، همچنین شاخص‌های رشد مانند طول و وزن خشک ریشه‌چه و ساقه‌چه نیز تحت تنش شوری کاهش یافتند، اماً غلظت‌های مختلف پتاسیم سیلیکات (بهویژه غلظت ۱۵۰ میلی‌گرم در لیتر پتاسیم سیلیکات) باعث بهبود

References

- Abayechaw, D., & Wulchafo, K. (2020). Germination test and seed rate determination on pulse crops. *International Journal of Current Research and Academic Review*, 8, 113-123. <https://doi.org/10.20546/ijcrar.2020.805.012>
- Abdelkader, A. A., Khalil, M. S., & Mohamed, M. S. (2022). Simultaneous biodegradation of λ -cyhalothrin pesticide and *Vicia faba* growth promotion under greenhouse conditions. *AMB Express*, 12(1), 44. <https://doi.org/10.1186/s13568-022-01383-0>

- Afzal, M., Alghamdi, S. S., Migdadi, H. H., El-Harty, E., & Al-Faifi, S. A. (2022). Agronomical and physiological responses of faba bean genotypes to salt stress. *Agriculture*, 12(2), 235. <https://doi.org/10.3390/agriculture12020235>
- Ahmed, E. Z., & Sattar, A. M. A. E. (2024). Improvement of *Vicia faba* plant tolerance under salinity stress by the application of thiamine and pyridoxine vitamins. *Scientific Reports*, 14(1), 22367. <https://doi.org/10.1038/s41598-024-72511-y>
- Anaya, F., Fghire, R., Wahbi, S., & Loutfi, K. (2018). Influence of salicylic acid on seed germination of *Vicia faba* L. under salt stress. *Journal of the Saudi Society of Agricultural Sciences*, 17(1), 1-8. <https://doi.org/10.1016/j.jssas.2015.10.002>
- Anderson, D. R., & Burnham, K. P. (2002). Avoiding pitfalls when using information-theoretic methods. *The Journal of Wildlife Management*, 66(3), 912-918. <https://doi.org/10.2307/3803155>
- Anderson, R., Bayer, P. E., & Edwards, D. (2020). Climate change and the need for agricultural adaptation. *Current Opinion in Plant Biology*, 56, 197-202. <https://doi.org/10.1016/j.pbi.2019.12.006>
- Banakar, M. H., Ranjbar, G. H., & Sarafraz Ardakani, M. R. (2021). Determination of salt tolerance threshold of different fenugreek (*Trigonella Foenum-graecum* L.) ecotypes at germination stage using experimental models. *Journal of Plant Research (Iranian Journal of Biology)*, 34(4), 861-882. (In Persian with English Abstract). <https://dor.isc.ac/dor/20.1001.1.23832592.1400.34.4.10.3>
- Basra, S. M. A., Farooq, M., Tabassam, R., & Ahmad, N. (2005). Physiological and biochemical aspects of pre-sowing seed treatments in fine rice (*Oryza sativa* L.). *Seed Science and Technology*, 33(3), 623-628. <https://doi.org/10.15258/sst.2005.33.3.09>
- Bavarsadi, M., Modhej, A., & Majdam, M. (2017). Investigation the effect of salinity tension on germination, seedling growth and ionic content of alfalfa genotypes (*Medicago sativa* L.). *Crop Physiology Journal*, 9(35), 121-136.
- Bekhiet, A. M., Helmy, A. M., Fouada, S. E., & Azzam, C. R. (2022). Evaluation of salinity tolerance of some Egyptian *Faba bean* varieties during the germination stage. *Current Investigations in Agriculture and Current Research*, 10, 1316-1328.
- Cafaro, V., Alexopoulou, E., Cosentino, S. L., & Patane, C. (2023). Germination response of different castor bean genotypes to temperature for early and late sowing adaptation in the mediterranean regions. *Agriculture*, 13(8), 1569. <https://doi.org/10.3390/agriculture13081569>
- Chauhan, B. S. & Johnson, D. E. (2008). Germination ecology of Chinese sprangletop (*Leptochloa chinensis*) in the Philippines. *Weed Science*, 56(6), 820-825. <https://doi.org/10.1614/WS-08-070.1>
- Dagar, J. C., Yadav, R. K., & Sharma, P. C. (Eds.). (2019). *Research Developments in Saline Agriculture*. p. 926. Singapore: Springer.
- De la Reguera, E., Veatch, J., Gedan, K., & Tully, K. L. (2020). The effects of saltwater intrusion on germination success of standard and alternative crops. *Environmental and Experimental Botany*, 180, 104254. <https://doi.org/10.1016/j.envexpbot.2020.104254>
- Dhiman, P., Rajora, N., Bhardwaj, S., Sudhakaran, S. S., Kumar, A., Raturi, G., Chakraborty, K., Gupta, O., Devanna, B. N., Tripathi, D. K., & Deshmukh, R. (2021). Fascinating role of silicon to combat salinity stress in plants: An updated overview. *Plant Physiology and Biochemistry*, 162, 110-123. <https://doi.org/10.1016/j.plaphy.2021.02.023>
- El Boukhari, M. E. M., Barakate, M., Choumani, N., Bouhia, Y., & Lyamlouli, K. (2021). *Ulva lactuca* extract and fractions as seed priming agents mitigate salinity stress in tomato seedlings. *Plants*, 10(6), 1104. <https://doi.org/10.3390/plants10061104>
- El-Badri, A. M., Batool, M., Mohamed, I. A., Khatab, A., Sherif, A., Wang, Z., Salah, A., Nishawy, E., Ayaad, M., Kuai, J., Wang, B., & Zhou, G. (2021). Modulation of salinity impact on early seedling stage via nano-priming application of zinc oxide on rapeseed (*Brassica napus* L.). *Plant Physiology and Biochemistry*, 166, 376-392. <https://doi.org/10.1016/j.plaphy.2021.05.040>
- Ellis, R. H., & Roberts, E. H. (1981). The quantification of ageing and survival in orthodox seeds. *Seed Science and Technology (Netherlands)*, 9(2), 373-409.
- El-Mogy, M. M., Garchery, C., & Stevens, R. (2018). Irrigation with salt water affects growth, yield, fruit quality, storability and marker-gene expression in cherry tomato. *Acta Agriculturae Scandinavica, Section B—Soil & Plant Science*, 68(8), 727-737. <https://doi.org/10.1080/09064710.2018.1473482>
- Etesami, H., & Adl, S. M. (2020). Can interaction between silicon and non-rhizobial bacteria help in improving nodulation and nitrogen fixation in salinity-stressed legumes? A review. *Rhizosphere*, 15, 100229. <https://doi.org/10.1016/j.rhisph.2020.100229>
- Farooq, M., Hussain, M., Nawaz, A., Lee, D. J., Alghamdi, S. S., & Siddique, K. H. (2017a). Seed priming improves chilling tolerance in chickpea by modulating germination metabolism, trehalose accumulation

- and carbon assimilation. *Plant Physiology and Biochemistry*, 111, 274-283. <https://doi.org/10.1016/j.plaphy.2016.12.012>
- Farooq, M., Gogoi, N., Hussain, M., Barthakur, S., Paul, S., Bharadwaj, N., Migdadi, H. M., Alghamdi, S. S., & Siddique, K. H. (2017b). Effects, tolerance mechanisms and management of salt stress in grain legumes. *Plant Physiology and Biochemistry*, 118, 199-217. <https://doi.org/10.1016/j.plaphy.2017.06.020>
- Gao, H. J., Yang, H. Y., Bai, J. P., Liang, X. Y., Lou, Y., Zhang, J. L., Wang, D., Zhang, J. L., Niu, S. Q., & Chen, Y. L. (2015). Ultrastructural and physiological responses of potato (*Solanum tuberosum* L.) plantlets to gradient saline stress. *Frontiers in Plant Science*, 5, 787. <https://doi.org/10.3389/fpls.2014.00787>
- Gong, D., Zhang, X., Yao, J., Dai, G., Yu, G., Zhu, Q., Guo, Q., & Zheng, W. (2021). Synergistic effects of bast fiber seedling film and nano-silicon fertilizer to increase the lodging resistance and yield of rice. *Scientific Reports*, 11(1), 12788. <https://doi.org/10.1038/s41598-021-92342-5>
- Hafez, E. M., Osman, H. S., El-Razek, U. A. A., Elbagory, M., Omara, A. E. D., Eid, M. A., & Gowayed, S. M. (2021). Foliar-applied potassium silicate coupled with plant growth-promoting rhizobacteria improves growth, physiology, nutrient uptake and productivity of faba bean (*Vicia faba* L.) irrigated with saline water in salt-affected soil. *Plants*, 10(5), 894. <https://doi.org/10.3390/plants10050894>
- Ibrahim, E. A. (2016). Seed priming to alleviate salinity stress in germinating seeds. *Journal of Plant Physiology*, 192, 38-46. <https://doi.org/10.1016/j.jplph.2015.12.011>
- ISTA. (2010). International Rules for Seed Testing, Rules, 2010. International Seed Testing Association (ISTA) Seed Science and Technology. Zurich. Switzerland.
- Johnston, C., Leong, S. Y., Teape, C., Liesaputra, V., & Oey, I. (2024). Low-intensity pulsed electric field processing prior to germination improves *in vitro* digestibility of faba bean (*Vicia faba* L.) flour and its derived products: A case study on legume-enriched wheat bread. *Food Chemistry*, 449, 139321. <https://doi.org/10.1016/j.foodchem.2024.139321>
- Karunakaran, G., Suriyaprabha, R., Manivasakan, P., Yuvakkumar, R., Rajendran, V., Prabu, P., & Kannan, N. (2013). Effect of nanosilica and silicon sources on plant growth promoting rhizobacteria, soil nutrients and maize seed germination. *IET Nanobiotechnology*, 7(3), 70-77. <https://doi.org/10.1049/iet-nbt.2012.0048>
- Kaur, S., Suhalia, A., Sarlach, R. S., Shamshad, M., Singh, P., Grover, G., Brar, A., & Sharma, A. (2022). Uncovering the Iranian wheat landraces for salinity stress tolerance at early stages of plant growth. *Cereal Research Communications*, 50(4), 895-904. <https://doi.org/10.1007/s42976-022-00245-6>
- Keshtiban, R. K., Carvani, V., & Imandar, M. (2014). Effects of salinity stress and drought due to different concentrations of sodium chloride and polyethylene glycol 6000 on germination and seedling growth characteristics of chickpea (*Cicer arietinum* L.). *Advances in Environmental Biology*, 8(24), 413-420.
- Kuai, J., Sun, Y., Guo, C., Zhao, L., Zuo, Q., Wu, J., & Zhou, G. (2017). Root-applied silicon in the early bud stage increases the rapeseed yield and optimizes the mechanical harvesting characteristics. *Field Crops Research*, 200, 88-97. <https://doi.org/10.1016/j.fcr.2016.10.007>
- Kukric, T. N., Marjanovic, J. A. M., Nikolic, Z. T., & Jovicic, D. D. (2023). A comparative study on salt stress response of *Camelina sativa* and *Carthamus tinctorius* during germination. *Journal of Agricultural Sciences (Belgrade)*, 68(2), 141-154. <https://doi.org/10.2298/jas2302141k>
- Latef, A. A. A., Hasanuzzaman, M., & Tahjib-Ul-Arif, M. (2021). Mitigation of salinity stress by exogenous application of cytokinin in faba bean (*Vicia faba* L.). *Notulae Botanicae Horti Agrobotanici Cluj-Napoca*, 49(1), 12192-12192. <https://doi.org/10.15835/nbha49112192>
- Lotfi, R., & Ghassemi-Golezani, K. (2015). Influence of salicylic acid and silicon on seed development and quality of mung bean under salt stress. *Seed Science and Technology*, 43(1), 52-61. <https://doi.org/10.15258/sst.2015.43.1.06>
- Luyckx, M., Hausman, J. F., Lutts, S., & Guerriero, G. (2017). Silicon and plants: Current knowledge and technological perspectives. *Frontiers in Plant Science*, 8, 411. <https://doi.org/10.3389/fpls.2017.00411>
- Maalouf, F., Ahmed, S., & Bishaw, Z. (2021). Faba bean. In The Beans and the Peas. pp. 105-131. Woodhead Publishing.
- Maas, E. V., & Grattan, S. R. (1999). Crop yields as affected by salinity. *Agricultural Drainage*, 38, 55-108. <https://doi.org/10.2134/agronmonogr38.c3>
- Maas, E. V., & Hoffman, G. J. (1977). Crop salt tolerance-current assessment. *Journal of the Irrigation and Drainage Division*, 103(2), 115-134. <https://doi.org/10.1061/JRCEA4.0001137>
- Maguire, J. D. (1962). Speed of germination-aid in selection and evaluation for seedling emergence and vigor. *Crop Science*, 2, 176-177. <https://doi.org/10.2135/cropsci1962.0011183X000200020033x>
- Meot-Duros, L., & Magne, C. (2008). Effect of salinity and chemical factors on seed germination in the halophyte *Crithmum maritimum* L. *Plant and Soil*, 313, 83-87. <https://doi.org/10.1007/s11104-008-9681-6>

- Mustafa, G., Akhtar, M. S., & Abdullah, R. (2019). Global concern for salinity on various agro-ecosystems. *Salt Stress, Microbes, and Plant Interactions: Causes and Solution*, 1, 1-19. https://doi.org/10.1007/978-981-13-8801-9_1
- Naseer, M. N., Rahman, F. U., Hussain, Z., Khan, I. A., Aslam, M. M., Aslam, A., Waheed, H., Khan, A. U., & Iqbal, S. (2022). Effect of salinity stress on germination, seedling growth, mineral uptake and chlorophyll contents of three Cucurbitaceae species. *Brazilian Archives of Biology and Technology*, 65, e22210213. <https://doi.org/10.1590/1678-4324-2022210213>
- Netondo, G. W., Onyango, J. C., & Beck, E. (2004). Sorghum and salinity: II. Gas exchange and chlorophyll fluorescence of sorghum under salt stress. *Crop Science*, 44(3), 806-811. <https://doi.org/10.2135/cropsci2004.8060>
- Nirmala, S., Mukesh, Y., Venkataraman, B. K., Kumar, S. R., & Kumar, J. P. (2016). Hybridization between salt resistant and salt susceptible genotypes of mungbean (*Vigna radiata* L. Wilczek) and purity testing of the hybrids using SSRs markers. *Journal of Integrative Agriculture*, 15(3), 521-527. <https://doi.org/10.1016/S2095-3119%2815%2961161-3>
- Omar, S. A., Feng, Y., Yu, M., Eldin, S. A. G., Eldenary, M. E., Shabala, S., Allakhverdiev, S., & Abdelfattah, M. H. (2024). Exogenous application of 5-azacitidin, royal jelly and folic acid regulate plant redox state, expression level of DNA methyltransferases and alleviate adverse effects of salinity stress on *Vicia faba* L. plants. *Heliyon*, 10(10). <https://doi.org/10.1016/j.heliyon.2024.e30934>
- Rawat, J., Sanwal, P., & Saxena, J. (2016). Potassium and its role in sustainable agriculture. In *Potassium Solubilizing Microorganisms for Sustainable Agriculture*. pp. 235-253. New Delhi: Springer India.
- Saadat, H., Sedghi, M., Seyed Sharifi, R., & Farzaneh, S. (2023). The effect of priming with different levels of chitosan on physiological and biochemical traits in french bean (*Phaseolus vulgaris* L.) under salinity stress. *Plant Production Technology*, 14(2), 75-89. (In Persian). <https://doi.org/10.22084/ppt.2023.26100.2075>
- Sabaghnia, N., & Janmohammadi, M. (2014). Graphic analysis of nano-silicon by salinity stress interaction on germination properties of lentil using the biplot method. *Agriculture & Forestry/Poljoprivreda i Sumarstvo*, 60(3), 29-40.
- Sahab, S., Suhani, I., Srivastava, V., Chauhan, P. S., Singh, R. P., & Prasad, V. (2021). Potential risk assessment of soil salinity to agroecosystem sustainability: Current status and management strategies. *Science of the Total Environment*, 764, 144164. <https://doi.org/10.1016/j.scitotenv.2020.144164>
- Sehrawat, N., Yadav, M., Singh, R., Aggarwal, D., & Devi, A. (2020). Drought and salinity stress as major threat for sustainable Mung bean production: Emerging challenges and future perspectives. *Annals of Plant Sciences*, 9(6), 3899-3906.
- Shahzad, M., Zorb, C., Geilfus, C. M., & Muhling, K. H. (2013). Apoplastic Na⁺ in *Vicia faba* leaves rises after short-term salt stress and is remedied by silicon. *Journal of Agronomy and Crop Science*, 199(3), 161-170. <https://doi.org/10.1111/jac.12003>
- Sharma, A. D., Rathore, S. V. S., Srinivasan, K., & Tyagi, R. K. (2014). Comparison of various seed priming methods for seed germination, seedling vigour and fruit yield in okra (*Abelmoschus esculentus* L. Moench). *Scientia Horticulturae*, 165, 75-81. <https://doi.org/10.1016/j.scienta.2013.10.044>
- Sharma, A. D., Thakur, M., Rana, M., & Singh, K. (2004). Effect of plant growth hormones and abiotic stresses on germination, growth and phosphatase activities in *Sorghum bicolor* (L.) Moench seeds. *African Journal of Biotechnology*, 3(6), 308-312. <https://doi.org/10.5897/AJB2004.000-2057>
- Shen, Q., Fu, L., Su, T., Ye, L., Huang, L., Kuang, L., Wu, L., Wu, D., Chen, Z., Zhang, G., & Zhang, G. (2020). Calmodulin HvCaM1 negatively regulates salt tolerance via modulation of HvHKT1s and HvCAMTA4. *Plant Physiology*, 183(4), 1650-1662. <https://doi.org/10.1104/pp.20.00196>
- Tao, Q., Lv, Y., Mo, Q., Bai, M., Han, Y., & Wang, Y. (2018). Impacts of priming on seed germination and seedling emergence of *Cleistogenes songorica* under drought stress. *Seed Science and Technology*, 46(2), 239-257. <https://doi.org/10.15258/sst.2018.46.2.06>
- Tavakkoli, E., Watts-Williams, S. J., Rengasamy, P., & McDonald, G. K. (2024). Eliciting the aboveground physiological regulation that underlies salinity tolerance in faba bean (*Vicia faba* L.). *Environmental and Experimental Botany*, 226, 105849. <https://doi.org/10.1016/j.envexpbot.2024.105849>
- Van Genuchten, M. V., & Hoffman, G. J. (1984). Analysis of crop salt tolerance data. p. 285-271, In: I. Shainberg and J. Shalhevet (eds.). *Soil Salinity under Irrigation- Process and Management*. Springer-Verlag, New York, NY.
- Wang, X. D., Ou-yang, C., Fan, Z. R., Gao, S., Chen, F., & Tang, L. (2010). Effects of exogenous silicon on seed germination and antioxidant enzyme activities of *Momordica charantia* under salt stress. *Journal of Animal and Plant Sciences*, 6(3), 700-708.

- Wu, H., Guo, J., Wang, C., Li, K., Zhang, X., Yang, Z., Li, M., & Wang, B. (2019). An effective screening method and a reliable screening trait for salt tolerance of *Brassica napus* at the germination stage. *Frontiers in Plant Science*, 10, 530. <https://doi.org/10.3389/fpls.2019.00530>
- Zaid, A., Gul, F., Ahanger, M. A., & Ahmad, P. (2018). Silicon-mediated alleviation of stresses in plants. In Plant Metabolites and Regulation under Environmental Stress. pp. 377-387. Academic Press.
- Zaki, F. S., Elsayed, A. E., Ahmed, A. M., & Khalid, K. A. (2024). Salinity stress and different types of nano silicon's effects on lupine morphology and biochemical accumulations. *Biocatalysis and Agricultural Biotechnology*, 55, 102997. <http://dx.doi.org/10.1016/j.bcab.2023.102997>
- Zhou, H., Shi, H., Yang, Y., Feng, X., Chen, X., Xiao, F., Lin, H., & Guo, Y. (2024). Insights into plant salt stress signaling and tolerance. *Journal of Genetics and Genomics*, 51(1), 16-34. <https://doi.org/10.1016/j.jgg.2023.08.007>